

استخدام الشبكات العصبية الاصطناعية والخوارزميات الجينية الوراثية في
تقدير هامش ربح الإكتتاب في شركات تأمينات الممتلكات والمسؤولية في السوق
المصري (بالتطبيق على تأمين أجسام السفن)

د. محمد محمود هاشم

مدرس الرياضة والتأمين والإحصاء ، أكاديمية السادات للعلوم

mhashem68@yahoo.com

الملخص :

الذكاء الاصطناعي هو فرع من فروع علم الحاسوب الآلي يهتم بتصميم وبناء نظم آلية ذات صفات ذكية تؤهله لتعلم مفاهيم ومهام جديدة قادرة على الاستجابة للظروف المحيطة والتفاعل مع الإنسان بالصوت والصورة ، وله تطبيقات عديدة منها الشبكات العصبية الاصطناعية، والخوارزميات الجينية الوراثية ، وقد هدفت الدراسة إلى تحليل العوامل المؤثرة على هامش ربح الإكتتاب في فرع تأمين أجسام السفن والوصول إلى أكثرها تأثيراً من الناحية الفنية سواء في القطاع العام أو القطاع الخاص وإنمالي السوق ككل، وكذلك تقدير هامش ربح الإكتتاب في فرع تأمين أجسام السفن في سوق التأمين المصري وذلك باستخدام نموذجي للشبكات العصبية الاصطناعية والخوارزميات الجينية الوراثية في كل من القطاع العام والقطاع الخاص وإنمالي السوق ، وأخيراً بيان مدى وجود اختلاف بين تطبيق كل من نموذجي للشبكات العصبية الاصطناعية والخوارزميات الجينية الوراثية عند تقدير هامش ربح الإكتتاب لفرع تأمين أجسام السفن بسوق التأمين المصري، وقد توصلت الدراسة إلى أن هامش ربح الإكتتاب يعتبر من المؤشرات الهامة بالنسبة لشركات التأمين لكونه يقيس مدى نجاح الإدارة في اتباع سياسة إكتتاب جيدة، ولكونه من الموضوعات التي تحظى باهتمام من جانب تلك الشركات لما له من تأثير مباشر على حقوق كل من حملة الأسهم وحملة الوثائق، كما توصلت الدراسة إلى أنه يمكن تقدير هامش ربح الإكتتاب في تأمين الممتلكات والمسؤولية باستخدام تطبيقات الذكاء الاصطناعي مثل نموذج الشبكات العصبية الاصطناعية ANN، ونموذج الخوارزميات الجينية الوراثية GA.

كما توصلت الدراسة إلى أنه بالنسبة للقطاع العام فإن نموذج الشبكات العصبية الإصطناعية ANN_S أكثر ملائمة لجودة توفيق هاشم ربح الإكتتاب مقارنة بنموذج الخوارزميات الجينية الوراثية، أما بالنسبة للقطاع الخاص فإن نموذج الخوارزميات الجينية الوراثية أكثر ملائمة لجودة توفيق هاشم ربح الإكتتاب مقارنة بنموذج الشبكات العصبية الإصطناعية ANN_S ، وأخيراً بالنسبة لإنجليزي السوق ككل فإن نموذج الخوارزميات الجينية الوراثية أكثر ملائمة لجودة توفيق هاشم ربح الإكتتاب مقارنة بنموذج الشبكات العصبية الإصطناعية ANN_S .

Abstract:

Artificial intelligence is a branch of computer science that is concerned with the design and construction of automated systems with intelligent characteristics that qualify it to learn new concepts and tasks capable of responding to the surrounding conditions and interacting with humans with sound and image. It has many applications, including artificial neural networks and genetic algorithms. The study aimed to analyze Factors affecting the underwriting profit margin in the hull insurance branch and access to which one is the most technically influence, in both the public sector, the private sector, or the total market, as well as estimating the underwriting profit margin in the hull insurance branch in the Egyptian insurance market by using typical artificial neural networks and genetic algorithms in both the public sector, the private sector and the total market

Finally, the extent to which there is a difference between the application of the two types of artificial neural networks and

genetic algorithms in estimating the underwriting profit margin for the hull insurance branch in the Egyptian insurance market.

The study found that the underwriting profit margin is one of the important indicators for insurance companies because it measures the extent of management's success in following a good underwriting policy, and because it is one of the topics that receives attention on the part of these companies because of its direct impact on the rights of both shareholders and policyholders.

The study also found that the underwriting profit margin in property insurance and liability can be estimated using artificial intelligence applications such as Artificial neural networks model ANN, and the Genetic Algorithm Model GA.

The study also found that for the public sector, the ANN model is more appropriate to the quality of underwriting profit alignment compared to the genetic algorithm model. As for the private sector, the genetic algorithms model is more appropriate to the quality of the underwriting profit alignment model; finally, for the total market, the genetic algorithm model is more appropriate for the quality of underwriting profit margin alignment compared to the ANN model.

Key words: Hull insurance, underwriting profit margin, artificial intelligence, artificial neural networks, and genetic algorithms.

١- الإطار المنهجي للبحث:-

١/١ مقدمة البحث

الذكاء الاصطناعي Artificial Intelligence (AI) هو فرع من فروع علم الحاسوب الآلي يهتم بتصميم وبناء نظم آلية ذات صفات ذكية تؤهله لتعلم مفاهيم ومهام جديدة قادرة على الاستجابة للظروف المحيطة و التفاعل مع الإنسان بالصوت والصورة، وذلك من خلال استخدام الآلات والروبوتات المبرمجة أوتوماتيكياً والمحسنة رقمياً بشكل سريع لتحقيق أعلى مستويات من الإنتاجية لتكون على مستوى من الذكاء لتحاكي القدرات الذهنية البشرية وطريقة عملها، ولقد أصبحت فكرة دمج الذكاء الاصطناعي (AI) في مختلف التخصصات والعلوم أمراً ضرورياً لأنثره الإيجابي في تطوير الخدمات وزيادة الإنتاجية ورفع الكفاءة نتيجة لتصحيح وتغيير المسارات التقليدية لمختلف العلوم ، ولا شك أن هناك بعض تطبيقات الذكاء الاصطناعي تضاهي بل تفوق أداء الخبراء والمحترفين في القيام بمهام محددة، ويتم تدعيم الذكاء الاصطناعي من خلال مجموعة متنوعة من الأدوات والبيانات والمعلومات تقوم بإجراء تحليلات ومعالجات للنصوص والصور بحيث يتم استخدامها فيما بعد لمعالجة المشاكل المتعلقة بتلك الموضوعات .

ولعل نموذجي الشبكات العصبية الاصطناعية والخوارزميات الجينية الوراثية من أهم تطبيقات الذكاء الاصطناعي التي يمكن استخدامها في مجال التأمين، وهم من التطبيقات شائعة الاستخدام في مجالات كثيرة، ونظراً لأن صناعة التأمين بصفة عامة وتتأمين أجسام السفن بصفة خاصة صناعة تنافسية عالمية، لذا فإن شركات التأمين التي تكتتب في هذا الفرع يجب عليها متابعة عائد الإكتتاب (ربح أو عجز الإكتتاب) من عام لآخر ، وفحص ذلك العائد لكفالة سلامة المراكز المالية ومنع المنافسة الضارة ، ومن أهم الوسائل التي تمكناها من ذلك الإستعانة بتطبيقات الذكاء الاصطناعي.

٢/ مشكلة البحث :-

بعد صدور القانون رقم ٩١ لسنة ١٩٩٥ وما ترتب عليه من تحرير أسعار التأمين في مصر، تم إلغاء اللجنة المركزية لتسعير الوحدات في الإتحاد المصري للتأمين والتي كانت مختصة بتسعير تأمين أجسام السفن في سوق التأمين المصري وثُرِكت الحرية لشركات التأمين في تسعير هذا الفرع مما ترتب عليه إنهيار أسعاره ، و يمكن إرجاع هذا الإنهاك في السعر بعد تحريره إلى عدة أسباب من أهمها أن إحدى خصائص صناعة التأمين أنها صناعة تدميرية المنافسة (القاضي ١٩٩٣) ، وأن سوق التأمين يعتبر سوق إحتكار قلة (عثمان، شريف محمد محسن ٢٠٠٦)، وقد ترتب على ذلك التذبذب في هامش ربح الإكتتاب لهذا الفرع الهام من فروع تأمينات الممتلكات والمسؤولية، وارتفاع معدلات الخسائر فيه كما يتضح من الجدول التالي:

جدول رقم (١)

معدل الخسائر و هامش ربح الإكتتاب لفرع تأمين أجسام السفن بسوق التأمين المصري في الفترة من ٢٠١٧ - ٢٠٠٨

السنة	معدل الخسائر %	هامش ربح الإكتتاب %
٢٠٠٨	٦٧,٣	١٩,٨
٢٠٠٩	٨٤,٧	٣,٥
٢٠١٠	٦٦	١٢,٤
٢٠١١	٦١,١	١٦,٦
٢٠١٢	٥٨,٤	٢٣,٢
٢٠١٣	٣١,٨	٥١
٢٠١٤	٢٦,٣	٤٧,٦
٢٠١٥	(٦,٥)	٧٠,٦
٢٠١٦	٣١,٣	٤٤,٤
٢٠١٧	٣٩,٣	٣٤,٨

المصدر: الكتاب الإحصائي السنوي عن نشاط سوق التأمين في مصر، أعداد مختلفة.

وحيث أن هامش ربح الإكتتاب يعتبر من المؤشرات الهامة بالنسبة لشركات التأمين لكونه يقيس مدى نجاح الإدارة في اتباع سياسة إكتتاب جيدة، ولكونه من الموضوعات التي تحظى باهتمام من جانب تلك الشركات لما له من تأثير مباشر على حقوق كل من حملة الأسهم وحملة الوثائق، لذلك فإنه لبقاء الشركة في السوق وقدرتها على المنافسة وانتقاء الأخطار الجيدة والحد من الإنقاء ضد مصلحتها (الأخطار الرديئة) فلا بد عليها من اتباع سياسة إكتتاب سلية، وجدير بالذكر أن عملية الإكتتاب في شركات التأمين هي من أهم وأعقد العمليات التي يجب أن توليها الشركة اهتماماً كبيراً، وذلك لأن نتائج الأنشطة الأخرى التي تمارسها الشركة مثل التسعير والإستثمار وإعادة التأمين والتعويضات كلها أنشطة تتوقف في المقام الأول على نتائج عمليات الإكتتاب، وأن أي خطأ أو عدم دراسة جيدة في قبول وتصنيف الأخطار يترب عليه خسائر في نتائج أعمال الشركة ككل، وتتلخص مشكلة هذا البحث في أن تذبذب هامش ربح الإكتتاب في فرع تأمين أجسام السفن يشير إلى أنه قد يوجد أوجه قصور في السياسة الإكتتابية مما يستدعي ضرورة متابعته متابعة جيدة والتنبؤ به ومحاولة دراسة العوامل المؤثرة فيه، والبحث عن طرق ونماذج مختلفة لتحقيق ذلك.

٣/١ أهداف البحث :

يهدف هذا البحث إلى:

١/٣/١ تحليل العوامل المؤثرة على هامش ربح الإكتتاب في فرع تأمين أجسام السفن والوصول إلى أكثرها تأثيراً من الناحية الفنية سواء في القطاع العام أو القطاع الخاص أو إجمالي السوق ككل.

٢/٣/١ تقدير هامش ربح الإكتتاب في فرع تأمين أجسام السفن في سوق التأمين المصري باستخدام نموذجي للشبكات العصبية الإصطناعية والخوارزميات الجينية الوراثية في كل من القطاع العام والقطاع الخاص وإجمالي السوق .

٣/٣/١ بيان مدى وجود اختلاف بين تطبيق كل من نموذجي للشبكات العصبية الإصطناعية والخوارزميات الجينية الوراثية عند تقدير هامش ربح الإكتتاب لفرع تأمين أجسام السفن بسوق التأمين المصري.

٤/ أهمية البحث :

تظهر أهمية هذا البحث في أنه من الأبحاث القليلة التي تلقى الضوء على تطبيقات الذكاء الإصطناعي مثل نموذج الشبكات العصبية الإصطناعية أو نموذج الخوارزميات الجينية الوراثية في تقييم هامش ربح الإكتتاب في فرع هام من فروع تأمينات الممتلكات والمسؤولية وهو فرع تأمين أجسام السفن ، وحيث أن دراسة هامش ربح الإكتتاب يساعد شركات التأمين في تجنب قبول أخطار يتربّع عليها خسائر في نتائج أعمالها ، فإن اتباع سياسة إكتتاب جيدة يؤدي إلى حماية حقوق حملة الوثائق ويعزز بدوره على زيادة الإكتتاب في فرع تأمين أجسام السفن والتخطيط الجيد للسياسة الإكتتابية لهذا الفرع ، ويساعد في دراسة درجة الخطورة لكل خطر من الأخطار المكتتب بها ، لذا فإنه يجب على شركات التأمين الإهتمام بتقدير هامش ربح الإكتتاب ، ولعل استخدام بعض تطبيقات الذكاء الإصطناعي مثل نموذج الشبكات العصبية الإصطناعية أو نموذج الخوارزميات الجينية الوراثية يساعد شركات التأمين على ذلك .

٥/ فروض البحث:

في ضوء مشكلة البحث وأهدافه قام الباحث بصياغة الفرض البحثي الرئيس التالي:
”يمكن استخدام نموذجي الشبكات العصبية الإصطناعية ANN، والخوارزميات الجينية الوراثية (GA) في تقييم هامش ربح الإكتتاب في فرع تأمين أجسام السفن“.

وقد تفرّع من الفرض الرئيس الفروض الفرعية الثلاثة التالية:

١/٥/١ الفرض الفرعي الأول : يمكن استخدام نموذجي الشبكات العصبية الإصطناعية ANN، والخوارزميات الجينية الوراثية (GA) في تقييم هامش ربح الإكتتاب في فرع تأمين أجسام السفن على مستوى القطاع العام.

٢/٥/١ الفرض الفرعي الثاني : يمكن استخدام نموذجي الشبكات العصبية الإصطناعية ANN، والخوارزميات الجينية الوراثية (GA) في تقدير هامش ربح الاكتتاب في فرع تأمين أجسام السفن على مستوى القطاع الخاص.

٣/٥/١ الفرض الفرعي الثالث: يمكن استخدام نموذجي الشبكات العصبية الإصطناعية ANN، والخوارزميات الجينية الوراثية (GA) في تقدير هامش ربح الاكتتاب في فرع تأمين أجسام السفن على مستوى إجمالي السوق.

٦/١ منهجية البحث :

في ضوء أهمية البحث وفرضه وتحقيقاً لأهدافه فقد اتبع الباحث الخطوات المنهجية التالية :

١/٦/١ المنهج الاستقرائي : من خلال استعراض أدبيات التأمين المرتبطة بموضوع البحث ، والإحصاءات المنشورة بالكتاب الإحصائي السنوي عن نشاط سوق التأمين في مصر واستقراء العديد من الدراسات السابقة في مجال البحث ، سواء تلك المتعلقة بهامش ربح الإكتتاب أو المتعلقة بتأمين أجسام السفن أو المتعلقة بتطبيقات الذكاء الإصطناعي مثل نموذج الشبكات العصبية و نموذج الخوارزميات الجينية الوراثية والتوصيل من خلال ذلك للفجوة البحثية التي بُني عليها البحث .

٢/٦/١ المنهج التطبيقي: وتم من خلال دراسة تطبيقية عن مدى إمكانية استخدام تطبيقات الذكاء الإصطناعي مثل نموذج الشبكات العصبية أو نموذج الخوارزميات الجينية الوراثية في تقدير هامش ربح الإكتتاب بالتطبيق على تأمين أجسام السفن بسوق التأمين المصري وذلك من خلال الإستعانة ببيانات المنشورة بالكتاب الإحصائي السنوي عن نشاط سوق التأمين في مصر لكل من القطاع العام والقطاع الخاص وكذلك على مستوى إجمالي السوق.

٢- الدراسات السابقة:

في هذا الجزء من البحث يعرض الباحث أهم الدراسات السابقة- العربية أو الأجنبية- التي تناولت موضوعات تتعلق بموضوع البحث سواء تلك المتعلقة بهامش ربح الإكتتاب أو بتأمين أجسام السفن أو المتعلقة بتطبيقات الذكاء الإصطناعي، وكذلك التعليق عليها وتحليلها بغرض الوصول إلى الفجوة البحثية والتي بُنى عليها هذا البحث وأيضاً الاستفادة مما توصلت إليه من نتائج وتوصيات في موضوع البحث الحالي.

١/٢ الدراسات العربية:

١/١/٢ دراسة (أبوياكر، عيد أحمد وآخرون ٢٠١٤).

وتهدف هذه الدراسة إلى استخدام الشبكات العصبية الإصطناعية في بناء نموذج كمي من المؤشرات (النسبة) المالية لقياس الملاعة المالية في شركات تأمين القطاع الخاص العاملة في سوق التأمين المصري، وذلك من خلال تحديد أهم المؤشرات المالية المؤثرة في الملاعة المالية لتلك الشركات وتحديد أفضل نموذج يعبر عن العلاقة بين المؤشرات المالية في شركات تأمين القطاع الخاص العاملة في سوق التأمين المصري ومعدل الملاعة المالية عن الصافي ، وقد توصل البحث إلى أفضل نموذج من خلال استخدام الشبكات العصبية الإصطناعية .

٢/١/٢ دراسة (حموده، إبراهيم أحمد عبد النبي ٢٠٠٢)

وتهدف هذه الدراسة إلى التوصل إلى معيار إحصائي يمكن من خلاله قياس خطر الإكتتاب الذي تواجهه شركات التأمين المصرية في بعض فروع التأمينات العامة، خصوصاً في ظل حرية التسعير وذلك باستخدام معدل الخسارة ، وقد تناولت الدراسة قياس خطر الإكتتاب في بعض فروع التأمينات العامة مثل تأمين الحريق وتأمين السيارات التكميلي، وقد توصلت الدراسة إلى ضرورة وجود تعريفة استرشادية تكون بمثابة السعر الأساسي أو سعر الخطر وأنه من خلال التنبؤ بمعدل الخسارة يمكن التنبؤ بمعدل خسارة السوق ، كما أوصت الدراسة بضرورة التعاون بين شركات التأمين والهيئة المصرية للرقابة على التأمين وإتحاد التأمين في إنشاء

استخدام الشبكات العصبية الاصطناعية والخوارزميات الجينية الوراثية في تقييمها من حيث الأهمية ...
د/ محمد محمود هاشم

مكتب للتعوير يكون بمثابة المرشد لتلك الشركات ، وأيضاً الإستفادة من الخبرات الأجنبية في هذا المجال.

٣/١/٢ دراسة (عبد الصادق، أسامة سعيد ٢٠٠٧)

هدفت هذه الدراسة إلى محاولة توفير (نموذج محاسبي عصبي) يعتمد على الشبكات العصبية الاصطناعية في ترشيد المكافحة الدولية لعمليات غسل الأموال في القطاع المصرفي، وهذا النموذج المحاسبي العصبي يستطيع المحاسب المصرفي تطبيقه لترشيد حكمه الشخصي فيما يشتبه فيه من معاملات مصرافية، حيث أنه تشكلت فرق ولجان لتجريم وتقنين التعامل مع ظاهرة غسل الأموال، ومراقبة مدى الالتزام بالمعايير الصادرة عن أهم مراقب دولي متخصص في هذه القضية على المستوى الدولي وهو فريق العمل المالي لمكافحة عمليات غسل الأموال Financial Action Task Force (FATF) ، ولقد جاءت هذه الدراسة استجابة لتوصيات كل من الـ FATF ، ولجنة الكونجرس الأمريكي الموكلة بدراسة ظاهرة غسل الأموال، حيث تم التوصية بضرورة استخدام تقنية الذكاء الاصطناعي في التعامل مع جرائم غسل الأموال.

٤/١/٢ دراسة (صالح، فاتن عبدالله ٢٠٠٩)

هدفت هذه الدراسة إلى توضيح أثر تطبيق الذكاء الاصطناعي والذكاء العاطفي على جودة اتخاذ القرارات ، وقد قامت الباحثة بأخذ آراء عينة من مديري البنوك التجارية في الأردن ، وذلك من خلال قوائم استقصاء تم توزيعها خصيصاً من أجل هذا الغرض، وقد توصلت الباحثة بعد تحليل تلك القوائم إحصائياً إلى أن هناك علاقة معنوية ذات دلالة إحصائية بين استخدام الأساليب المختلفة للذكاء الاصطناعي وبين جودة اتخاذ القرارات الإدارية.

٤/١/٥ دراسة (نوار، عبدالله رمضان عبدالله ٢٠١٥)

هدفت هذه الدراسة إلى التنبؤ بصفاتي أقساط السيارات الملاكي وذلك باستخدام أسلوب الشبكات العصبية، وإلقاء الضوء على المتغيرات المستقلة الأكثر أهمية أمام صانع القرار، وقد تناول الباحث أسلوب الشبكات العصبية وكيفية تطبيقها في التنبؤ

بصافي الأقساط، وقد توصل الباحث إلى أن تطبيق الشبكات العصبية يعطي نموذجاً ذو قدرة تقديرية عالية وخطأ تنبؤ ضئيل.

٦/١ دراسة (الدالى, أمل أحمد حسن شحاته ٢٠١٥)

هدفت الدراسة إلى التنبؤ بهامش ربح الأكتتاب لفروع تأمين الممتلكات والمسؤولية في السوق السعودي وذلك باستخدام الشبكات العصبية، وتحليل العوامل المؤثرة على هامش ربح الأكتتاب وذلك بهدف الوصول إلى أكثر تلك العوامل تأثيراً، كما هدفت الدراسة أيضاً إلى التخطيط الجيد للسياسة الاكتتابية مستقبلاً بما يساعد شركات التأمين في تحديد السعر العادل بما يتاسب ودرجة الخطورة لكل خطر من الأخطار المكتتب فيها، وقد توصلت الدراسة إلى أنه يمكن لشركات تأمين الممتلكات والمسؤولية استخدام الشبكات العصبية الاصطناعية في التنبؤ بهامش ربح الأكتتاب.

٧/١ دراسة (مشعل, محمود عبدالعال محمد ٢٠١٥)

هدفت هذه الدراسة إلى بناء نموذج إحصائي مركب (إنداج نموذج السلسل الزمنية مع نموذج تحليل الإنحدار مع نموذج الشبكات العصبية الاصطناعية) للتنبؤ بحجم أقساط التأمين التعاوني في السوق السعودي والتعرف على أهم المحددات التي تؤثر عليه وللوصول لهذا الهدف قام الباحث بتقديم إسلوب الإنحدار ثم أسلوب تحليل السلسل الزمنية ثم أسلوب الشبكات العصبية ، ثم الدمج بينهم للتنبؤ بحجم أقساط التأمين، وقد توصلت الدراسة إلى أن نموذج السلسل الزمنية المركبة يعد الأفضل والأكثر ملائمة للبيانات من حيث الدقة والتنبؤ.

٨/١ دراسة (المعداوي, جيهان مسعد ٢٠١٧)

هدفت هذه الدراسة إلى التنبؤ بالمطالبات في فرع تأمين السيارات التكميلي وذلك باستخدام الشبكات العصبية الاصطناعية ، وقد قامت الباحثة بوضع نموذج يحاكي النظام العصبي البيولوجي ، وبناء نظام هيكل يربط العناصر المراد معالجتها وتنظيمها، وقد توصلت الدراسة إلى أفضلية نموذج الشبكات العصبية في حالة ٣ متغيرات مستقلة للتنبؤ بالمتغيرات محل الدراسة، وأنه يوجد إستقلال بين بواقي النموذج مما يدل على ملائمة النموذج المقدر للتنبؤ بالبيانات محل الدراسة.

٩/١ دراسة (البلقيني، وآخرون ، ٢٠١٧)

هدف هذه الدراسة إلى البحث عن الأساليب الإحصائية التي يمكن استخدامها في التنبؤ بالأزمات المالية التي قد تتعرض لها شركات التأمين في مصر، وقد ركز هذا البحث على نوعين من الأساليب الإحصائية التي يمكن استخدامهما في هذا الغرض، وهما الشبكات العصبية الاصطناعية والإنحدار اللوجستي، وقد تم تطبيق هذين النوعين من الأساليب الإحصائية على بعض شركات تأمينات الممتلكات والمسؤولية العاملة في السوق المصري خلال الفترة من ٢٠٠٤ إلى ٢٠١٥.

١٠/١ دراسة (سليمان، أسامة ربيع أمين ٢٠١٨)

هدف هذه الدراسة إلى محاولة التوصل إلى نموذج مالي توازنی لتحديد هامش ربح اكتتاب شركات تأمينات الممتلكات والمسؤولية في ظل نظام الضريبة الموحدة على الدخل، وذلك بالاعتماد على نظرية تسعير الأصول الرأسمالية CAPM بما يضمن تحقيق العدالة بين حملة الأسهم وحملة الوثائق، وقد توصل الباحث من خلال هذه الدراسة إلى أن تطبيق نموذج تسعير الأصول الرأسمالية ثانوي العزوم (Moment insurance) هو النموذج الأكثر معنوية لتحديد معدل العائد على النشاط الإكتتابي لفرع الحريق في شركة التأمين محل الدراسة.

١١/١ دراسة (شاكر، محمد عبد السلام خليل ٢٠١١)

تهدف هذه الدراسة إلى تقييم أداء وربحية شركات التأمين في مصر من خلال تطبيق معيار هامش ربحية الاكتتاب في كل من القطاعين العام والخاص كمدخل لخصخصة شركات التأمين في مصر، وهدفت الدراسة أيضاً إلى التعرف على مدى وجود فروق معنوية بين أداء وربحية كل من شركات القطاع العام وشركات القطاع الخاص العاملة بالسوق المصري، وقد توصلت الدراسة إلى عدم وجود فروق معنوية بين شركات القطاع العام وبعضها البعض، ومن ناحية أخرى عدم وجود فروق معنوية بين أداء وربحية شركات القطاع الخاص وبعضها البعض. وأثبتت الدراسة وجود فروق معنوية بين أداء وربحية شركات القطاع العام والقطاع الخاص لصالح القطاع العام.

١١/١ دراسة (إسماعيل، عماد عبدالجليل على، ٢٠٠٨)

تهدف هذه الدراسة إلى اقتراح نموذج كمي لترشيد ودعم اتخاذ قرار الائتمان المتعلق بأخطار السيارات الخاصة (التغطية الشاملة) في سوق التأمين السعودي، حيث يعمل هذا النموذج المقترن على رشيد ودعم اتخاذ قرار الائتمان المتعلق بقبول التغطية بالسعر العادي المعلن ، أو القبول بسعر إضافي أو القبول مع منح المستأن خصمًا ، أو رفض التغطية، وقد تم ذلك من خلال تقسيم محفظة الائتمان في أخطار السيارات الخاصة (التغطية الشاملة) إلى مجموعات أخطار أو عناقيد مختلفة ومتافية وفقاً لمجموعة من العوامل المؤثرة في درجة الخطر، وذلك باستخدام التحليل العنقودي، وبعد ذلك تم احتساب انتماء وحدة الخطر إلى هذه المجموعات باستخدام التحليل اللوجستي متعدد الحدود وأخيراً تحديد درجة الخطورة الأكثر احتمالاً تمهدأ لاتخاذ قرار الائتمان المناسب.

٢/٢ الدراسات الأجنبية:

١/٢ دراسة D'Arcy وآخرون (1990)

هدفت هذه الدراسة إلى المقارنة بين بعض النماذج المالية المستخدمة في تحديد هامش ربح الائتمان في شركات التأمين خصوصاً شركات تأمينات الممتلكات والمسؤولية، وقد تناولت الدراسة بعض النماذج المستخدمة في تحديد هامش ربح الائتمان في شركات تأمينات الممتلكات والمسؤولية والمقارنة بينها على أساس قدرة كل نموذج من تلك النماذج على التنبؤ الدقيق بالأسعار ، وذلك على اعتبار أن التنبؤ الدقيق بالأسعار يساعد على التنبؤ هامش ربح الائتمان.

٢/٢ دراسة (Rose 2011)

وقد هدفت هذه الدراسة إلى توضيح دور الشبكات العصبية كنموذج تفكير مبني على العقل البشري، حيث أن مخ الإنسان يتكون من مجموعة كثيفة متشابكة من الخلايا العصبية (neurons) ، وأنه باستخدام تلك الخلايا والتي تبلغ في المتوسط ١٠ بليون خلية عصبية ونقطات الإشتباك العصبي والتي تبلغ في المتوسط ٦٠ تريليون نقطة إشتباك عصبي يؤدي المخ البشري وظائفه بشكل سريع ومتوازي، مع الأخذ في

الإعتبار أنه لا يمكن نشغيل كل تلك الخلايا العصبية ونقط الإشتباك العصبي في نفس الوقت وإلا أصبح المخ البشري أسرع وأدق من أي حاسب آلي موجود في العالم، وقد توصلت هذه الدراسة إلى أن التعلم والتدريب سمة أساسية وضرورية للشبكات العصبية البيولوجية الموجودة في المخ البشري، وأنه عند استخدام الشبكات العصبية الاصطناعية يتم تقليد تلك الشبكات البيولوجية.

٣/٢ دراسة (Ansary وأخرون ٢٠١٦)

هدفت هذه الدراسة إلى الوصول إلى تحديد العلاقة بين تطبيقات الذكاء الاصطناعي وبين تحقيق ولاء العملاء في شركات التأمين في السوق الإيرانية، ومن أجل الوصول إلى هذا الهدف تم تصميم قائمة إستقصاء وزعت على عينة من العملاء المتعاملين مع بعض شركات التأمين الإيرانية، وقد تم الوصول إلى أن الشبكات العصبية الاصطناعية كأحد أبرز تطبيقات الذكاء الاصطناعي تعتبر وسيلة ملائمة لتقدير العوامل المؤثرة على ولاء العملاء، كما توصلت الدراسة إلى أن استخدام تقنية الشبكات العصبية الاصطناعية سيكون هام ومفيد لشركات التأمين الناشئة لتحقيق ميزة تنافسية مع الشركات الأخرى العاملة في نفس المجال.

٤/٢ دراسة (Joseph وأخرون ٢٠٠٥)

هدفت الدراسة إلى تطوير نموذج يساعد شركات التأمين على تخفيض خسائر الإكتتاب أو بمعنى آخر زيادة هامش ربح الإكتتاب وهو ما يسمى العائد على الإكتتاب، وقد توصلت الدراسة إلى أن شركات التأمين بصفة عامة تركز على تحقيق أكبر قيمة من الأقساط المكتتبة ونمو تلك الأقساط من عام إلى آخر دون أن تأخذ تلك الشركات في الحسبان طبيعة الأخطار المكتتب فيها ودرجة الخطورة المتعلقة بتلك الأخطار ، وأوصت الدراسة بإستخدام العائد على الإكتتاب لقياس نمو بعض القطاعات في سوق التأمين، وأيضاً استخدامه كوسيلة لتخفيض خسائر الإكتتاب.

٥/٢ دراسة (Dorinalazer وأخرون ٢٠١٢)

هدفت الدراسة إلى وضع دليل جديد لدوره الإكتتاب في تأمينات الممتلكات في الولايات المتحدة الأمريكية، وقد حددت الدراسة بعض الإجراءات الخاصة بدوره

الإكتتاب سواء تلك الإجراءات الخاصة بوقت الإكتتاب أو مدى تكرار حدوث دورة الإكتتاب، وتوصلت الدراسة إلى نمو معدلات دورة الإكتتاب في تأمينات الممتلكات في السوق الأمريكي، كما أشارت الدراسة إلى نمو الأقساط الخاصة بتلك الشركات.

٦/٢ دراسة (Bonnet ٢٠٠٨)

وقد هدفت هذه الدراسة إلى مقارنة الذكاء الاصطناعي مع الذكاء الطبيعي أو الذكاء البشري ، وقد توصلت الدراسة إلى أنه يمكن فهم القيمة الكامنة أو المستتره للذكاء الاصطناعي فهماً أفضل إذا تم مقارنته مع الذكاء البشري، وتوصلت الدراسة إلى أن الذكاء الاصطناعي يتميز بكونه أكثر ثباتاً من الذكاء البشري، وأيضاً يسهل نسخه ونقله وتوزيعه وبشكل كامل ، كما يتميز الذكاء الاصطناعي بامكانية توثيقه باعتباره تقنية تتعلق بالحاسوب الآلي.

٢/٣ التعليق على الدراسات السابقة :

يتضح من استعراض الدراسات السابقة أنه يوجد مجموعة من تلك الدراسات تتناول التطبيقات المختلفة للذكاء الاصطناعي بصفة عامة، وهناك مجموعة أخرى ركزت على تطبيق نماذج الذكاء الاصطناعي في مجال التأمين، وأيضاً هناك مجموعة من تلك الدراسات تتناولت العائد على الإكتتاب في شركات التأمين ، ومجموعة تناولت تأمين أجسام السفن ، ولكن لا يوجد بين تلك الدراسات التي تنسى الباحث الإطلاع عليها سواء في الدراسات العربية أو الأجنبية أي دراسة تناولت استخدام نموذجي للشبكات العصبية الاصطناعية والخوارزميات الجينية الوراثية في تقيير هامش ربح الإكتتاب في تأمينات الممتلكات والمسؤولية خاصة في هذا الفرع المهم وهو فرع تأمين أجسام السفن في السوق المصري، وهذه هي الفجوة البحثية التي بنى عليها الباحث بحثه الحالي محاولاً تسلیط الضوء على نموذجين من نماذج الذكاء الاصطناعي وهما نموذجي للشبكات العصبية الاصطناعية والخوارزميات الجينية الوراثية ، ومحاولة تطبيق هذين النموذجين في تقيير هامش ربح الإكتتاب في فرع تأمين أجسام السفن في سوق التأمين المصري مستخدماً البيانات المتاحة في هذا

المجال، وأيضاً توضيح الفرق بين استخدام كلا النموذجين في القطاع العام والقطاع الخاص وعلى مستوى السوق كل وذلك من أجل الوصول إلى أهداف البحث.

٣- العائد على الإكتتاب في شركات تأمين الممتلكات والمسؤولية:

إن عملية الإكتتاب هي عصب العمل الفني بشركات التأمين، وهي تعني فحص وإختيار وتصنيف طلبات التأمين ، بعرض إتخاذ قرار بشأن قبول أو رفض الأخطار، وذلك من أجل الوصول إلى فكرة محددة عن تلك الأخطار والوصول إلى محفظة أعمال متوازنة وتحقيق ربح معقول دون التعرض لحدث خسائر غير مواتية في ناتج الإكتتاب (Rejda2005)، إلا أن شركات التأمين تركز بصفة عامة على تحقيق أكبر قيمة من الأقساط المكتتبة، ونمو تلك الأقساط من عام إلى آخر دون أن تنظر إلى طبيعة الأخطار المكتتب فيها ودرجة الخطورة المتعلقة بتلك الأخطار (Joseph وأخرون ٢٠٠٥).

ويمكن تلخيص خطوات عملية الإكتتاب في أربعة خطوات تبدأ بفحص الأخطار المراد الإكتتاب فيها ، ثم مرحلة إختيار الأخطار ، ثم مرحلة تحليل الأخطار وأخيراً مرحلة مراقبة الأخطار ويتم ذلك أثناء فترة التعاقد (موسى، عادل أحمد ٢٠٠٥).

١/٣ أهمية الإكتتاب بالنسبة لشركات التأمين:

إن شراء التأمين عملاً اختيارياً من جانب الأشخاص والذين يحاولون بكل الطرق السعي وراء مصالحهم الخاصة ، ولذلك فإن عدد طالبي وثائق التأمين لا يمتنوا في الواقع نسبة عشوائية من المجتمع، وهذا بدوره سيؤدي إلى زيادة نسبة الأخطار الرئيسية وبالطبع زيادة معدلات الخطر مما سيترتب عليه محاولة قيام شركات التأمين بزيادة الأسعار حتى تكون متناسبة مع معدلات تحقق الأخطار العالمية في هذه الحالة، وعلى هذا الأساس فإنه وإن كان من الناحية النظرية يمكن لشركات التأمين قبول كافة الأخطار المعروضة عليها دون فحص أو تقييم وأن تحدد السعر بما يتناسب مع التعويضات والمصروفات المتوقعة، إلا أنه من الناحية العملية لا يمكن ذلك لأن الأسعار ستكون عالية جداً وذلك لتوقع زيادة نسبة الأخطار الرئيسية وزيادة معدلات الخطر (أبوبكر، عيد أحمد ٢٠٠٣)، ولذلك فإنه يمكننا القول أن عمليات الإكتتاب من

أهم العمليات الفنية التي يجب أن تهتم بها شركات التأمين لأنها ستؤدي إلى انتقاء أفضل الأخطار وتكون محفوظة أخطار متوازنة وبالتالي تقليل معدلات الخسائر وضمان الاستمرارية لشركة التأمين بل وتنمية مركزها المالي، وهناك عدة عوامل تؤثر في تحديد السياسة الإكتتابية لشركة التأمين وهي (الدالي ، أمل أحمد حسن شحاته ٢٠١٥) الطاقة الإكتتابية ، قوانين الإشراف والرقابة ، توافر الكوادر الفنية ، الإتجاهات الشخصية لمكتبى التأمين ، وإعادة التأمين .

٢/٣ هامش ربح الإكتتاب:

إن هامش ربح الإكتتاب هو الدخل الذي يتم الحصول عليه من عملية الإكتتاب ويتحقق عندما تزيد الأقساط المكتسبة في سنة مالية معينة عن التعويضات التحميلية شاملة جميع مصاريف تسوية تلك التعويضات، وهو أحد مصادر الدخل الأساسية في شركات التأمين، وهو عبارة عن نسبة مؤدية يمكن الحصول عليها عند طرح معدل مركب من الواحد الصحيح، وهذا المعدل المركب هو عبارة عن المجموع الجبرى لمعدل الخسائر نسبة إلى الأقساط المكتسبة، مضافاً إليه معدل المصروفات نسبة إلى الأقساط المكتسبة، مع ملاحظة إن هذا المعدل المركب إذا زاد عن الواحد الصحيح يكون هناك خسائر إكتتاب.

ويتم حساب معدل الخسائر من خلال العلاقة:-

$$\text{معدل الخسائر} = \frac{\text{التعويضات التحميلية}}{\text{الأقساط المكتسبة}}$$

بينما يتم الوصول إلى المعدل المركب من خلال العلاقة:-

$$\text{المعدل المركب} = \text{معدل الخسائر} + \text{معدل العمولات وتكاليف الإنتاج} + \text{معدل المصروفات العمومية والإدارية}$$

ويتم حساب هامش ربح الإكتتاب من خلال العلاقة

$$\text{هامش ربح الإكتتاب} = 1 - \text{المعدل المركب}$$

$$\text{هامش ربح أو عجز الإكتتاب} = 1 - (\text{معدل الخسائر} + \text{معدل العمولات وتكاليف الإنتاج} + \text{معدل المصروفات العمومية والإدارية})$$

٤- تأمين أجسام السفن :

١/٤- نبذة عن تأمين أجسام السفن:

يختص هذا النوع من التأمين بتأمين السفن بكافة أنواعها متضمنة النشات واليخوت أثناء مرحلة البناء أو مرحلة العمل، ففي عام (١٨٨٨) بدأ معهد مكتبي لندن في وضع شروط تأمين السفن، وقد عرفت هذه الشروط باسم (شروط عام ١٨٨٨ لتأمين السفن - مدة)، وعرفت الشروط النموذجية لسوق التأمين الإنجليزي بواسطة لجنة الشروط والفنيات التي أنشأت عام ١٩٢٥ م والتي تكونت من ممثلين من أعضاء اتحاد مكتبي اللويدز ومعهد مكتبي التأمين في لندن باسم شروط المجمع، ويتم التأمين على أجسام السفن في مصر وفقاً للشروط الصادرة من مجمع مكتبي التأمين بلندن المعتمدة من الإتحاد المصري للتأمين.

١/١٤ شروط تأمين أجسام السفن:

هناك بعض شروط تأمين أجسام السفن منها: (O'Shea, Jim et al ١٩٩٨)

- شروط المجمع لأخطار البناء.
- شروط المجمع لتأمين السفن (مدة).
- شروط المجمع لتأمين اليخوت.
- شروط المجمع لتأمين الحرب والإضرابات (سفن / مدة)

٢/١٤ خصائص تأمين أجسام السفن:

يتسم سوق تأمين أجسام السفن بعدة خصائص من أهمها ما يلي: (عثمان, شريف محمد محسن ٢٠١٧)

- سوق تأمين أجسام السفن سوق للقيم الكبيرة والإكتتاب: تعمل السفن بشكل عام في بيئة أكثر عرضة للخطر والخسائر الجسيمة مقارنة بغيرها من

الممتلكات، ولكي يؤدي تأمين أجسام السفن دوره باعتباره صناعة عالمية فإنه يجب أن يمتلك عدداً كافياً من المؤمنين.

- سوق تأمين أجسام السفن سوق لوسطاء التأمين: حيث يحتاج المؤمن له وسيط تأمين محترف يفهم طبيعة سوق التأمين المعقدة
- تأمين أجسام السفن تأمين عن الأخطار المباشرة : يغطي تأمين أجسام السفن الأخطار المباشرة (أو أخطار الممتلكات)، ولا يغطي أخطار المسئولية إلا إذا كانت ناتجة عن تصادم السفينة مع سفينة أخرى.
- تأمين أجسام السفن يتميز باللغطية النمطية: نشأت وثيقة أجسام السفن النمطية في لندن من خلال شروط (المجمع لتأمين السفن - مدة)، والتي تومن السفينة لمدة غالباً ما تكون سنة كاملة، وتقديم هذه الوثيقة تغطية تأمينية على أساس أخطار محددة، وهذا يعني أنه يتم منح الحماية ضد أخطار محددة بالإسم والمدة.

٤/ تأمين أجسام السفن في السوق المصري:

يستخدم سوق التأمين المصري شروط معهد مكتبي التأمين في لندن Institute of London Underwriters، وكما سبق التوضيح فإنه بعد صدور القانون رقم ٩١ لسنة ١٩٩٥ تم تحرير أسعار التأمين في مصر، وإلغاء اللجنة المركزية لتسعير الوحدات في الإتحاد المصري للتأمين والتي كانت مختصة بتسعير تأمين أجسام السفن وثُرِكَت الحرية لشركات التأمين في تسعير هذا الفرع، وتشير الإحصائيات(الكتاب الإحصائي السنوي عن نشاط سوق التأمين في مصر، أعداد مختلفة) إلى وجود حوالي (٢٣) شركة تأمين تمارس تأمينات الممتلكات والمسئوليَّة في عام ٢٠١٧ منهم (١٣) شركة تقوم بالاكتتاب في فرع تأمين أجسام السفن ، ويبلغ صافي الأقساط في هذا الفرع لشركة مصر للتأمين والتي تمثل القطاع العام (٤٤٠ ألف جنيه) عام ٢٠١٦ كما يبلغ (٤٣٨١١ ألف جنيه) عام ٢٠١٧ وهي بذلك تستحوذ على حوالي ٩٣٪ من إجمالي صافي أقساط السوق في هذا الفرع ، بينما تبلغ الحصة السوقية لشركات قناة السويس و المهندس

للتأمين و الدلتا للتأمين والمجموعة المصرية للتأمين وشركة إسكان للتأمين عام ٢٠١٦ من صافي أقساط هذا الفرع (٤٨٤٥, ٥٩٥, ٢٣٤, ٤٩٤, ٧٠٩ ألف جنيه) على الترتيب بنسبة ٦,٢% من إجمالي السوق ، في حين أن حصة هذه الشركات عام ٢٠١٧ هي (١٢,٧٢٤, ٧٢٣٦, ٤٧٤, ١٩٣٦, ١٠٩ ألف جنيه) على الترتيب وهم بذلك يمثلوا أيضاً حوالي ٦,٦% عام ٢٠١٧ .

والجدول التالي يوضح قيمة الأقساط المكتسبة والتعويضات التحميلية ومعدل الخسائر ومعدل العمولات وتكاليف الإنتاج و معدل المصاروفات العمومية والإدارية في سوق تأمين أجسام السفن في مصر.

جدول (٢)

معدل الخسائر ومعدل العمولات وتكاليف الإنتاج ومعدل المصاروفات العمومية والإدارية وهاشم ربح الإكتتاب لفرع تأمين أجسام السفن بسوق التأمين المصري للقطاع العام والخاص وإجمالي السوق في الفترة من ٢٠١٧ - ٢٠٠٨

السنة	القطاع	الأقساط المكتسبة بالآلاف جنيهات	التعويضات التحميلية بالآلاف جنيهات	معدل الخسائر %	معدل العمولات وتكاليف الإنتاج %	معدل العمولات %	معدل المصاروفات العمومية والإدارية %	هاشم ربح الإكتتاب %
٢٠٠٨	قطاع عام	٣١٨٣٥	٢١٩٦٥	٦٩	١٣,٣	٩,٧	٨	
	قطاع خاص	٣٧٧٢٧	١٩٥٣	٥٢,٤	١٥,٤	١٠,٣	٢١,٩	
	اجمالي السوق	٣٥٥٦٢	٢٣٩١٨	٦٧,٣	٩,٨	١٣,٨	٩,١	
٢٠٠٩	قطاع عام	٣٠٣٨٤	٢٩٢١٣	٩٦,١	١٢,١	٩	(١٧,٢)	
	قطاع خاص	٦٠٥٤	١٦٥٧	٢٧,٤	١٢,٣	٩	٥١,٣	
	اجمالي السوق	٣٦٤٣٨	٣٠٨٧٠	٨٤,٧	١٢,٢	٩	(٥,٩)	
٢٠١٠	قطاع عام	٣٨٨٩٣	٢٥٨٥٦	٦٦,٥	١٢,٩	٨,٧	١١,٩	
	قطاع خاص	٥٦٩١	٣٥٦٥	٦٢,٦	١١,٨	٩,٦	١٦	
	اجمالي السوق	٤٤٥٨٤	٢٩٤٢١	٦٦	١٢,٦	٩	١٢,٤	
٢٠١١	قطاع عام	٢٨٩٩٢	١٨٦٦٣	٦٤,٤	١١,٢	١٢,١	١٢,٣	
	قطاع خاص	٥٦٤٢	٢٤٩٤	٤٤,٢	١١,١	٩,٣	٣٥,٤	
	اجمالي السوق	٣٤٦٣٤	٢١١٥٧	٦١,١	١١,١	١١,٢	١٦,٦	
٢٠١٢	قطاع عام	٢٤١٨٦	٩٥٥٥	٣٩,٥	٨,٤	٨,٤	٤٣,٧	
	قطاع	٣٦٢١	٦٦٩٨	١٨٥	١٢	١٠,١	(١٠٧,١)	

						خاص	
						اجمالي السوق	
٢٣,٢	٨,٩	٩,٥	٥٨,٤	١٦٢٥٣	٢٧٨٠٧	قطاع عام	٢٠١٣
٤٦,٢	٧,٥	٧,٥	٣٨,٨	٩٥٥٥	٢٤٦٥٦	قطاع خاص	
٦٠,١	١١	١١,٥	١٧,٤	٢٠٥٨	١١٨٤٠	اجمالي السوق	
٥١	٨,٥	٨,٧	٣١,٨	١١٦١٣	٣٦٤٩٥	قطاع عام	٢٠١٤
٤١,٢	٩,٥	١١,٢	٣٨,١	١٠٨١١	٢٨٣٩١	قطاع خاص	
٩٥,٣	١٢,٥	١٠,١	(١٧,٩)	(١٣٦٠)	٧٦٠٣	اجمالي السوق	
٥٢,٤	١٠,٤	١٠,٩	٢٦,٣	٩٤٥١	٣٥٩٩٤	قطاع عام	٢٠١٥
٨٥,٨	٩,٤	١٢,٨	(٨)	(٤٢٢٩)	٥٢٨٠٦	قطاع خاص	
٧٠,١	١٤,٤	١٠,٧	٤,٨	٣٢٦	٦٨٤٧	اجمالي السوق	
٨٣,٦	١٠,٧	١٢,٢	(٦,٥)	(٣٩٠٢)	٥٩٦٥٣	قطاع عام	
٤٦,١	٩,٧	١٠,٩	٣٣,٣	٣١١٣٠	٩٣٥٠٠	قطاع خاص	٢٠١٦
٦٠,٩	٢١,٩	١٢,٥	٤,٧	٣٢٧	٦٩٣٢	اجمالي السوق	
٤٤,٤	١٣	١١,٣	٣١,٣	٣١٤٥٦	١٠٠٤٣٢	قطاع عام	
٣٤,٣	٩,٧	١٥,٦	٤٠,٤	٦١٩٢٨	١٥٣٤٥٩	قطاع خاص	٢٠١٧
٥١	١٦,١	١١,٥	٢١,٤	٢٠٢٤	٩٤٧٣	اجمالي السوق	
٣٤,٨	١١,٣	١٤,٦	٣٩,٣	٦٣٩٥٢	١٦٢٩٣٢	السوق في الفترة من ٢٠٠٨ - ٢٠١٧	

المصدر: الجدول من إعداد الباحث بـ الاستعانة بالبيانات المنشورة بالكتاب الإحصائي السنوي عن نشاط سوق التأمين في مصر، أعداد مختلفة.

والجدول السابق يعطي صورة إجمالية عن معدل الخسائر ومعدل العمولات وتكليف الإنتاج ومعدل المصروفات العمومية والإدارية وهمش ربح الإكتتاب لفرع تأمين أجسام السفن بسوق التأمين المصري للقطاع العام وأيضاً للقطاع الخاص وإجمالي السوق في الفترة من ٢٠٠٨ - ٢٠١٧

٥- تطبيقات الذكاء الإصطناعي:

يعتبر الذكاء الإصطناعي (Artificial Intelligence) من أبرز وأهم التطبيقات الحديثة لأنظمة المعلومات ، وهو يمثل حفلاً من حقول علوم الحاسوب التي

تهتم أساساً بدراسة وفهم طبيعة الذكاء البشري ومحاكاتها لإنجاز الكثير من المهام التي تحتاج كثيراً من الإستنتاج والإستبطان والمقارنة بين البدائل المختلفة، وقد أكدت الدراسات على مدى أهمية تطبيقات الذكاء الإصطناعي في منظمات الأعمال المختلفة حيث يمكنها تحقيق مزايا كثيرة لتلك المنظمات منها تحسين الجودة وتخفيف التكاليف وحل المشكلات المعقدة وتحسين عملية إتخاذ القرار وهو ما سوف يعزز تنافسية تلك المنظمات ويسهل لها البقاء والنمو، ويبني الذكاء الإصطناعي أساساً على الحوسية (Computation) والمنطق (Logic) والإحتمالات (Probability)

١/٥ مفهوم الذكاء الإصطناعي:

يعني الذكاء الإصطناعي بصفة عامة الذكاء الذي يصنعه أو يصطنه العقل البشري في الآلة أو الحاسب الآلي ، وهو بذلك يعتبر أحد علوم الحاسوب الآلي الحديثة التي تبحث عن أساليب متطرفة ل القيام بأعمال واستنتاجات تتشابه إلى حد كبير مع تلك الأساليب التي تنساب لذكاء الإنسان بهدف محاكاة القدرة المعرفية للعقل البشري، أي أن الذكاء الإصطناعي هو حقل علم الحاسوب الآلي المهم بتصميم نظم آلية تعرض خصائص الذكاء في السلوك الإنساني. (Barr, A, 1980)

هذا وقد عرف الكثير من المتخصصين والباحثين والخبراء الذكاء الإصطناعي تعريفات عديدة ومختلفة وفقاً لوجهات نظرهم ، ومنها على سبيل المثال (المركز الديمقراطي العربي للدراسات الإستراتيجية والسياسية والاقتصادية، ٢٠١٧) :

- هو ذلك العلم الذي يمكن الآلات من تنفيذ الأشياء التي تتطلب ذكاءً إذا تم تنفيذها عن طريق الإنسان.
- هو محاولة جعل الآلات أو الحاسوبات الآلية تعمل أشياء تحتاج إلى ذكاء.
- هو فرع من فروع الحاسوب الآلي يهتم بأتمتة السلوك الإنساني، (أي أداء السلوك الإنساني بشكل آوتوماتيكي)

- أداء الأنشطة المتعلقة بالتفكير البشري مثل صنع القرار وحل المشكلات والخطيط وغيرها بشكل آلي أو أتوماتيكي.
- هو فن اختيار الآلات التي تستطيع تحقيق عمليات تتطلب الذكاء الإنساني.
- دراسة كيفية جعل الحاسوب الآلية والآلات تقوم بأعمال يقوم بها الإنسان حالياً بشكل أفضل.
- هو مجال من مجالات الحاسوب الآلي يعمل على دراسة وتصميم وتطوير أجهزة الحاسوب الآلي تحاكي الذكاء البشري.

وبناءً على التعريفات السابقة يمكن استخلاص تعريف عام للذكاء الإصطناعي بأنه "مجموعة الجهد المبذولة لتطوير نظم المعلومات المحسوبة بطريقة تستطيع أن تتصرف فيها وتفكر بأسلوب مماثل للبشر، هذه النظم تستطيع أن تتعلم اللغات الطبيعية، وإنجاز مهام فعلية بتنسيق متكامل، أو استخدام صور وأشكال إدراكية لترشيد السلوك الإنساني ، كما تستطيع في نفس الوقت تخزين الخبرات والمعرف الإنسانية المتراكمة وإستخدامها في عملية إتخاذ القرار" (خواں وآخرون ۲۰۱۲)

هذا وقد إنتفع معظم الباحثون والخبراء على أن الذكاء الإصطناعي يهتم بفكرين أساسيتين (Waston 2006)

- ١- دراسة المراحل المختلفة للفكر البشري من أجل فهم الذكاء.
- ٢- التعامل مع ما تمثله تلك المراحل من خلال أجهزة الحاسوب الآلي والإنسان الآلي.

وقد مررت البحوث المتعلقة بالذكاء الإصطناعي بعدة مراحل ، حيث تشير الدراسات أن جذور الذكاء الإصطناعي تعود إلى أربعينيات القرن العشرين، ولكن بدأ الاهتمام يتزايد بهذا العلم مع إنتشار الحاسوب الآلية وتطبيقاتها المختلفة.

وقد تطور الذكاء الإصطناعي تطوراً سريعاً، ومن بعدة مراحل منها (غنيمي، محمد أديب ١٩٩٥) :

- مرحلة الشبكات الخلوية المخية (Neural Nets) : قدم العالمان (McCulloch,Wiener) في عام ١٩٤٦ عملاً رياضياً في مجال السبيرينية (Cybernetics), ثم توالت المحاولات بعد ذلك ، وفي الخمسينيات من القرن العشرين حاول العلماء المهتمون بهذا المجال بناء آلة ذكية تصاهي المخ البشري وتحاول تقليده إلا أن التكنولوجيا آنذاك لم تساعدهم في تحقيق هذا الهدف، وفي عام ١٩٥٧ حاول العالم الأمريكي (Rosenblatt) بناء نموذج مبسط لشبكة العين ، ولكن لم تكن النتائج مرضية ، مما أدى إلى عدم الإستمرار في هذا المجال.
- مرحلة البحث الموجه (Heuristic Search) : في عام ١٩٦٤ افترض كلاً من (Simon and Newell) أن التفكير ينتج عن طريق التنسيق بين المهام المختلفة التي تعالج الرموز مثل إجراء المقارنات بين تلك المهام والبحث عنها وتعديلها وتطويرها، وقد قاما بتقديم نظاماً لحل المشكلات المختلفة عرف باسم (البرنامج العام لحل المسائل) وهذا النظام يتصور ان حل أي مسألة يعتمد على البحث بين عدد كبير من بين الحلول المختلفة عن الحل المطلوب ، إلا أنه يعاب على هذا النظام أنه لم يعتمد بشكل أساسي على المعرفة والخبرة المتراكمة في مجال معين.
- مرحلة النظم المبنية على تمثيل المعرفة: في عام ١٩٧١ صمم (Reigenbaum) نظاماً خبيرياً في مجال الكيمياء (DENDRAL) تم استخدامه في تفسير النتائج التي يتم الحصول عليها من مطياف الكتلة ، وفي عام ١٩٧٦ قدم العالم (Shortliffe) برنامج (MYCIN) والذي يساعد الأطباء في تشخيص وعلاج أمراض اللإلتهاب السحائي، بل ويستطيع وصف الطريقة المناسبة للعلاج.
- مرحلة التعلم الآلي: بعد الإهتمام الكبير والمترادف بنظم الخبرة المبنية على المعرفة ، ظهرت مشكلة كبيرة امام العلماء خلال تلك التطبيقات وهي مشكلة كيفية استخلاص الخبرة والمعرفة، ولذا بدأ البحث عن طرق التعلم الآلي من

المعرفة المبدئية المتوفرة للنظام وأيضاً المعرفة المتاحة والمتوفرة خلال استخدامه، وفي عام ١٩٨٢ م قدم العالم (Lenat) نظاماً متكاملاً للتعلم الآلي (EURSKO) يعمل على تحسين وامتداد المعرفة المتاحة لديه بشكل آلي.

- مرحلة الذكاء الإصطناعي: وهي تلك المرحلة التي تشمل تطبيقات الذكاء الإصطناعي المختلفة والمنتشرة حياً في جميع فروع المعرفة.

وهناك هدفين رئисين للذكاء الإصطناعي هما :

- تمكين الألات وأجهزة الحاسب الآلي من معالجة البيانات والمعلومات بطريقة أقرب إلى نفس الطريقة التي يستخدمها المخ البشري في حل المسائل المختلفة وذلك من خلال المعالجة المتوازية بحيث يتم تنفيذ عدة أوامر في نفس الوقت .
- فهم أفضل ل Maherية الذكاء البشري عن طريق تقليد المخ البشري ومحاكاته ، ومحاولة العمل بشكل مترا ب ومتوازي وذلك بطريق قريبة مما يعمل بها الجهاز العصبي في الإنسان.

٤/٥ أهم تطبيقات الذكاء الإصطناعي:

هناك العديد من تطبيقات الذكاء الإصطناعي والتي يمكن تلخيصها في أربعة مجالات رئيسية يندرج تحت كل مجال منها مجموعة من التطبيقات (O'Brien ٢٠١١) ، وهذه المجالات هي:-

- تطبيقات الحاسوب الآلي (Computer Science Applications) وتشمل الشبكات العصبية، حاسبات الجيل الخامس ، المعالجة المتوازية والمعالجات الرمزية....

- تطبيقات العلوم الإدراكية (Cognitive Science Applications) وتشمل الخوارزميات الجينية، المنطق الغامض(الضبابي)، النظم الخبيرة ونظم التعلم (النظم المتعلمة)
- تطبيقات الآلات الذكية (Robotics Applications) وتشمل التقل الحركي، الوكيل الذكي والإدراك البصري(المرئي)
- تطبيقات الواجهه البيانية الطبيعية Natural Interface Applications وتشمل الواقع الإفتراضي ، معالجة اللغات الطبيعية ، متعدد الحواس ، الواجهات البيانية المتعددة وتمييز الخطاب

وعلى الرغم من تعدد تطبيقات الذكاء الإصطناعي إلا أن هناك مجموعة من الخصائص والسمات المشتركة والتي تتميز بها تلك التطبيقات (ياسين ٢٠١٧) ومنها التفكير والإدراك واستخدام الذكاء للتوصل لحل المشكلات المختلفة، والفهم والتعلم من التجربة، واكتساب المعرفة وتطبيقها ، والقدرة على الإبداع والتخيل ، والقدرة على التعامل مع الحالات المعقدة والأكثر تعقيداً، وسرعة الاستجابة للظروف والحالات الجديدة، والقدرة على التعامل مع المعلومات الناقصة وغير المكتملة، والغامضة أو الضبابية ، والتمييز النسبي لعناصر وظروف الحالات المختلفة وأخيراً القدرة الفائقة على دعم وصناعة القرارات الإدارية.

وسوف يتناول الباحث في هذا الجزء من البحث نماذج من نماذج الذكاء الإصطناعي أحدهما يندرج تحت تطبيقات الحاسوب الآلية وهو نموذج الشبكات العصبية الإصطناعية والأخر يندرج تحت تطبيقات العلوم الإدراكية وهو نموذج الخوارزميات الجينية الوراثية، وهما النموذجان المستخدمان في الدراسة التطبيقية.

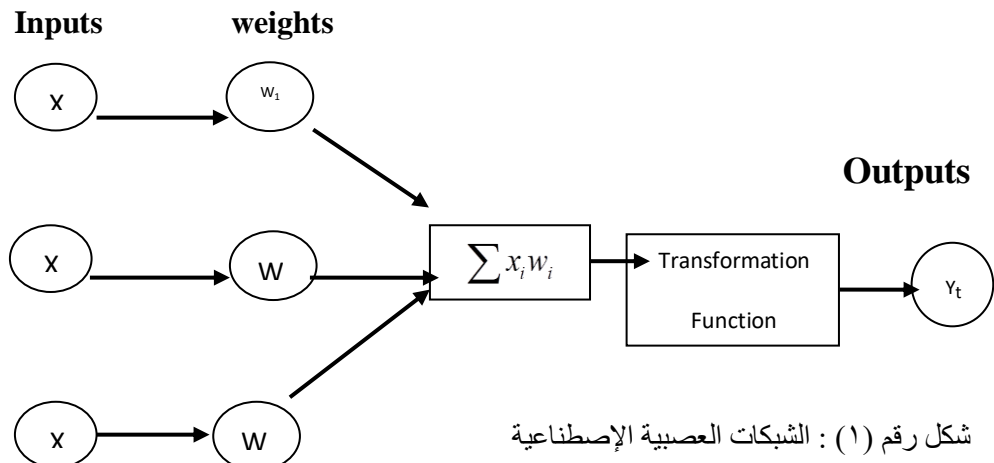
١/٥ نموذج الشبكات العصبية الإصطناعية (ANN)
إن نموذج الشبكات العصبية يستند في الأساس على نظم قواعد المعرفة وإستخدام منطق مبهم غير قاطع وهذه النظم تكون موزعة على حزم من البرامج تعتمد في عملها على المعالجات الموازية (ياسين ٢٠١١) ، والشبكات العصبية

تحاكي بنية المخ البشري في طريقة أدائه، ويتم ذلك عن طريق الرابط الداخلي للمعالجات بصورة متوازية يمكنها التفاعل بطريقة ديناميكية مع الأنماط وال العلاقات الموجودة في البيانات التي تعالجها، وعلى ذلك يمكن القول أن الشبكة العصبية تتعلم التمييز بين البيانات التي تستلمها من أجل الاستفادة بأكبر قدر ممكن من المعرفة لتفيد عدة محاولات على نفس البيانات، والشبكات العصبية تتعلم من خلال التقنيات الإحصائية والرياضية والكمية كيفية تمييز الأنماط والعلاقات ولكن مخرجاتها لا تستند على نماذج إحصائية أو رياضية لأنها لا تعمل على نموذج يوضح كيفية إعتماد المخرجات على المدخلات.

ومما سبق يمكن استخلاص أن الشبكات العصبية هي في الواقع عبارة عن مجموعة متكاملة لنظم معلومات ديناميكية يمكنها أن تتشكل وتترجم خلال فترة التطوير الخاصة بالتدريب والتعلم، بمعنى أنها نظم تتعلم من التجربة وتكتسب معارفها وخبراتها من خلال التعلم والتدريب بالمارسة العملية وعند تصميمها فإن الأمر يتطلب الحصر الدقيق للبيانات مع مراعاة تحديد أهداف القرارات التي تتزدها وترتيب تلك القرارات حسب أولوية كل منها، واتخاذ أكثرها فعالية وتقييم النتائج المترتبة عليها. (ياسين ٢٠١١)

والشبكات العصبية الإصطناعية تمثل نظاماً متكاملاً يتكون من مجموعة مركبة من عدة عناصر مترابطة معاً يطلق عليها (نيرونات) neurons وهي تعمل في انسجام تام لحل مشكلة معينة من خلال معالجة البيانات في عناصر معالجة بسيطة ، وتمر الإشارات (Signals) بين الأعصاب عبر خطوط ربط تسمى روابط إتصال (Connection Links) ، ويرفق بكل خط ربط وزن ترجيحي (Weight) معين والذي يضرب مع الإشارات الداخلة إلى neurons على إجمالي مدخلاته (مجموع الإشارات الداخلة الموزونة) ليحدد إشارة المخرجات الناجمة منه ، ويطبق كل neuron دالة تحويل أو دالة تحفيز معينة – عادة غير خطية - ، وتعتبر عملية تجميع الإشارات الداخلة للنيرون والمرجحة بالأوزان من أهم العمليات ويتم ذلك من خلال تطبيق دالة التحفيز (الإستثارة) وهناك العديد من دوال التحفيز شائعة الاستخدام وهي

كما سبق دوال غير خطية من أشهرها دالة السigmoid (functions Sigmoid) و يوجد لها دالتان شائعتان هما الدالة اللوجستية logistic function ، و دالة (Hyperbolic Tangent function) على أن يتم انتاج المزيد من المخرجات المؤتقة كلما زاد حجم المدخلات داخل الشبكة ، حتى يتحسن أداء الشبكة العصبية للوصول إلى أفضل جودة توفيق ممكنة بناءً على معايير كل من: MAE ، RMSE ، U ، R2 (وهذه المعايير سيتم تطبيقها في جزء الدراسة التطبيقية) من خلال قواعد المعرفة والتدريب المراقب وغير المراقب والتعلم بخوارزمية الإنتشار الخلفي للخطأ error back propagation على ثلاثة مراحل هي: الإنتشار الأمامي للخطأ error forward propagation ، الإنتشار الخلفي للخطأ error back propagation ، توليف أوزان الشبكة العصبية network weights synthetic ، (العباسى، عبدالحميد محمد، ٢٠١٣) ، حيث تم تدريب الشبكة العصبية للتعرف على نوعية مقياس البيانات وطبيعة العلاقات بين المتغيرات حسب طريقة التدريب غير المراقب K- Fold Unsupervised Training ، والتعلم بخوارزمية الإنتشار الخلفي للخطأ ، باستخدام برنامج NeuroShell predictor release2.1 (٢٠٠٢ Alter,S)



ويتضح من الشكل السابق أن العناصر التي تتكون منها الشبكة العصبية هي:

- إشارات المدخلات (Input signals) (X_i) وهي عبارة عن جميع عناصر البيانات التي تأتي من خلية عصبية أخرى أو من البيئة الخارجية.
- التنشيط (activation level) $(W_i X_i)$ ويعني تحديد مستوى التنشيط للقوى المترادفة لإشارات المدخلات من خلال ما يعرف بأوزان الإرتباط المعطاة لعناصر المدخلات، وهنا توجد دالة التجميع التي تمثل المجموع الموزون لكل عنصر من العناصر المختلفة للمدخلات.
- المخرجات (output) (Y_i) بعد حساب الدالة الوظيفية الموجودة في الخلية العصبية للنتيجة النهائية نحصل على مخرجات الشبكة العصبية، ويتم ضرب كل قيمة مدخلات (X_i) في وزنها (W_{ij}) وتأخذ الصيغة التالية:

$$\Delta W_{ij}(k+1) = \eta \delta_j X_i + \rho \Delta W_{ij}(k)$$

وأهم تقنية لأي شبكة عصبية هي بنية الشبكة (Network architectures) - وتحديد الأوزان (التدريب).

وفيما يتعلق ببنية الشبكة العصبية فهناك ما يعرف بالشبكات وحيدة الطبقة والشبكات متعددة الطبقات ، أما فيما يتعلق بتحديد الأوزان (التدريب) فهناك ما يعرف بالتدريب الإشرافي والتدريب غير الإشرافي مع ملاحظة أن هناك شبكات عصبية اصطناعية لها أوزان ثابت أي لا يوجد فيها عمليات تدريب (العياسي, عبدالحميد محمد, ٢٠١٣)

٢/٢/٥ نموذج الخوارزميات الجينية الوراثية (GA)

ظهرت الخوارزميات الجينية الوراثية لأول مرة عام ١٩٧٥ على يد العالم Jhon Holland من جامعة ميتشيجان في أمريكا ، ثم تطورت لتصبح أحد أهم الطرق الفعالة للتعامل مع حل المسائل والمشكلات المعقدة والبحث عن الأمثلية، وهي

عبارة عن برامج كمبيوتر متقدمة تعتمد على محاكاة عمليات بيولوجية ومحاكاة عمل الجينات الوراثية في الإنسان، أو هي عبارة عن نظم حاسوبية (آلية) معقدة تقوم على تجميع معلومات متخصصة - أي في مجال محدد فقط - من الخبراء ووضعها في صورة يمكن للحاسوب الآلي تطبيقها على مشكلات مماثلة.

وتقوم تقنية الخوارزميات الجينية على فكرة عملية لبرنامج محosب تتنافس فيه الحلول الممكنة للقرار ، ومن خلال ما يعرف بـ (الكفاح التطورى) فإن البقاء يكون بالأفضل، وهي بذلك تقوم على منهجية التطور والصراع للوصول إلى الحل الأمثل بالطريقة نفسها التي تنشأ وتتطور فيها الجينات الوراثية فهي تستخدم ما يعرف بالترابط الجيني (Genetic Combination) أو ما يعرف بمصطلح " Mutation " وتقوم أيضاً بعملية الانتقاء الطبيعي " Natural Selection " في التصميم بالإستناد إلى مفاهيم التطور ، وهنا يجب ملاحظة أن تلك المطلحات السابقة وغيرها مأخوذة من مفاهيم نظرية التطور التي قدمها تشارلز داروين في كتابه أصل الأنواع (Alzaidi ٢٠١٨).

وتتركز طريقة عمل الخوارزميات الجينية الوراثية على مجموعة من الخطوات لإمكانية صياغة الحل الأمثل لمسألة معينة ، وتلك الخطوات تكون متشابهة إلى حد كبير في جميع المسائل ولكن الاختلاف فقط يكون في صياغة كل خطوة من الخطوات حسب المسألة و المجال تطبيقها، وتترتبط هذه الخطوات مع بعضها ، ولا يمكن استثناء أي خطوة منها وإلا فقد الخوارزمية الجينية قيمتها وفعاليتها .

الخطوات الأساسية لعمل الخوارزميات الجينية الوراثية (Sefian, Slimane ٢٠١٢):

تشتمل خطوات عمل الخوارزميات الجينية الوراثية على العناصر التالية:

- البداية (Start) وهي عبارة عن توليد مجتمع عشوائي من الكروموسومات ، وإيجاد بدائل ممكنة للحل .
- دالة الصلاحية (Fitness Function) : وهي عبارة عن تحويل دالة الهدف إلى دالة مناسبة للحل .
- عمل مجتمع جديد (New population) : ويتم في هذه الخطوة توليد جيل جديد وذلك من خلال تكرار الخطوات الآتية إلى أن يتم استكمال الجيل:
 - الإختيار (Selection) ويتم اختيار أثنتين من الكروموسومات والتي يطلق عليهما "والدين Parents Chromosomes " من المجتمع الإبتدائي من خلال دالة الصلاحية التالية:

$$p_i = \frac{f_i}{\sum_{i=1}^n f_i}$$

f_i دالة الصلاحية لفرد i حجم مجتمع الكروموسومات ، وفي كل مرة يتم تحديد كروموسوم واحد للمجتمع الجديد وذلك من خلال توليد عدد عشوائي (r) .

- التصالب الإبدالي (Crossover) وهنا يتم إحدى عمليات التصالب للحصول على "الذرية Offspring" ويتم ذلك بين أثنتين من الكروموسومات.
- الطفرة (Mutation) ويتم عمل طفرة للسلف الجديد بموقع معين في الكروموسوم ويتم ذلك بين الجينات في الكروموسوم الواحد.
- الإستبدال (Replacement) وهي عبارة عن عملية وضع السلف الجديد المكون في الجيل الجديد للحلول.
- الإختبار (Test) تقوم الخوارزميات الجينية بالتوقف وتعيد الحل الجديد من آخر جيل متكون.
- معيار التوقف (Stopping Criteria) : يعتمد شرط التوقف على مقياس توقف الخوارزميات الجينية ، ويختلف هذا المقياس حسب الحالة ، ويستمر

إنشاء الأجيال المتعاقبة بغرض الوصول إلى الحل الأمثل في ظل دالة الهدف
(دالة أو دوال الصلاحية).

٣/٥ مزايا استخدام الذكاء الإصطناعي في مجال التأمين:

- يتسم استخدام تطبيقات الذكاء الإصطناعي بعدة مزايا منها (النجار ٢٠١٠) :
- تخزين البيانات والمعلومات بشكل فعال وإنشاء قاعدة بيانات تمكن للكثير من العاملين الحصول عليها كنص يدوي أو الكتروني، مما سيؤدي إلى تعلم القواعد التجريبية التي قد لا توجد في الكتب، كما أن هذا التخزين يكون وسيلة الشركة المهمة في حماية معرفتها من الضياع جراء تسرب العاملين بالاستقالة أو المعاش أو الوفاة.
 - إنشاء الآلية التي لا تخضع للمشاعر البشرية كالتعب أو القلق، وهذا يكون مفيداً بشكل خاص عندما تكون الأعمال خطرة على الأفراد (بيئياً) أو بدنياً، وذهنياً، وبذلك تكون تلك الأنظمة بمثابة مرشدًا ناجحاً في أوقات الأزمات.
 - إزالة الأعمال الروتينية وغير الملائمة التي يقوم بها العاملون.
 - توليد الحلول للمشكلات المعقدة التي عند تحليلها تكون أصعب مما يستطيع الإنسان معالجتها في وقت قصير.
 - القدرة على حل المشاكل المعروضة عند غياب المعلومة الكاملة.
 - القدرة على التعلم والفهم من التجارب و الخبرات السابقة .
 - القدرة على استخدام الخبرات القديمة و توظيفها في مواقف جديدة .
 - القدرة على استخدام التجربة و الخطأ لاستكشاف الأمور المختلفة .
 - القدرة على الاستجابة السريعة للمواقف والظروف الجديدة .
 - القدرة على التعامل مع الحالات الصعبة والمعقدة .
 - القدرة على تمييز الأهمية النسبية لعناصر الحالات المعروضة .
 - القدرة على التصور والإبداع وفهم الأمور المرئية وإدراكها .

أما بالنسبة لقطاع التأمين فإن الذكاء الاصطناعي بالإضافة للمزايا السابقة يقوم بتقديم المساعدة لشركات التأمين والوسطاء وحاملي الوثائق من حيث زيادة الكفاءة والفعالية وسرعة وكفاءة وحجم تبادل المعلومات، لا سيما وأن الذكاء الاصطناعي يمكن أن يوفر حلولاً لمعظم المشاكل التي تواجه القطاع وخصوصاً من ناحية التعويضات أو المعاشرة بين الشركات، كما أنه يساعد في تقييم الخطر بطريقة دقيقة، وكذلك منع وقوع الأضرار والانتهاء من تسوية المطالبات بشكل أسرع.

ومن ثم فإن الذكاء الاصطناعي يساعد القائمين على صناعة التأمين على توفير المال بل وتحقيق إيرادات أكبر، حيث أنه يقوم بمنح العملاء ما يريدونه بالضبط وقتما يريدون، ويمكن أن تقوم شركات التأمين بتطوير أدوات الذكاء الاصطناعي الخاصة بها لتحليل المخاطر وهو ما سيؤثر على مبلغ التأمين وتحديد نوع التغطية التأمينية، كما يقدم الذكاء الاصطناعي الفرصة لشركات التأمين لإنشاء نماذج مختلفة للتتبؤ بالمخاطر، وبالتالي تقوم الشركة بتصميم وثائق تأمين ملائمة لاحتياجات العملاء المختلفة، كما يمكن لتطبيقات الذكاء الاصطناعي تقدير مخصصات التعويضات تحت التسوية لفروع التأمين المختلفة وتقديرها من حيث ربح الإكتتاب.

وفي مجال التأمين البحري وأجسام السفن فإن الذكاء الاصطناعي يساعد في منع وتقليل الخسائر.. حيث يقوم بتحليل البيانات المتعلقة بما يلى:

- معدل تكدس السفن في الموانئ المختلفة.
- الطرق المائية الأكثر استخداماً في النقل البحري.
- تحليل الخسائر التي تنتج عن:
 - عمليات النقل الداخلي.
 - تقلب الأحوال المناخية.

وبالنسبة للمطالبات يعد متوسط الوقت الذي تستغرقه عملية تسوية المطالبة هو ١٥-١٠ يوماً، ولكن عند استخدام الذكاء الاصطناعي في المطالبات يتم تقليل هذه الدورة إلى ٣-٢ أيام. ولا يعتبر توفير الوقت هو الفائدة الوحيدة في ما يتعلق بمطالبات التأمين ولكنه يساعد أيضاً في الحد من الخسائر التي تتسبب بها شركات

التأمين نتيجة المطالبات الاحتيالية.

أما بالنسبة للإكتتاب فإنه يمكن أن تقوم شركات التأمين بتطوير أدوات الذكاء الإصطناعي الخاصة بها لتحليل المخاطر وهو ما سيؤثر على مبلغ التأمين وتحديد نوع التغطية التأمينية، كما يقدم الذكاء الإصطناعي الفرصة لشركات التأمين لإنشاء نماذج مختلفة للتنبؤ بالمخاطر، وبالتالي تقوم الشركة بتصميم وثائق تأمين ملائمة للإحتياجات المختلفة للعملاء.

٦- الدراسة التطبيقية:

في هذا الجزء من البحث قام الباحث بالتحليل الإحصائي وعرض الأساليب التي تم استخدامها في تحقيق أهداف البحث وفرضه.

١/٦ إجراءات وأساليب التحليل الإحصائي

اتبع الباحث إجراءات وأساليب التالية لإتمام التحليل الإحصائي للبحث:

١/١ مرحلة إدخال ومعالجة البيانات:

قام الباحث بعد إدخال البيانات بإجراء اسكتشاف للمتغيرات البحثية المتصلة المتعلقة بكل من هامش ربح الإكتتاب ، معدل الخسائر ، معدل العمولات وتكليف الإنتاج، ومعدل المصروفات العمومية والإدارية ، لفرع تأمين أجسام السفن بسوق التأمين المصري للتعرف على وجود بعض القيم الشاذة والمتطرفة بكل متغير على حده ، ثم حذف تلك القيم المتطرفة بناءً على استخدام Box-and-Whisker Plots ، وذلك من خلال حساب قيم كل من الربع الأدنى(Q_1) والربع الأعلى (Q_3) ، ثم حساب المدى الربيعي

، $IQR = Q_3 - Q_1$ ، وأخيراً استبعاد القيم الأقل من ($Q_1 - 1.5IQR$) ، وتلك الأعلى ($Q_3 + 1.5IQR$) ، ومن ثم العمل على استكمالها من خلال البرنامج الإحصائي (SPSS version 23).

٢/١٦ الأساليب الإحصائية المستخدمة:

تم استخدام الأساليب الإحصائية التالية:

١/٢/٦ الإحصاء الوصفي : Descriptive Statistics

تشمل المقاييس الإحصائية الوصفية كل من: الوسط الحسابي ، الوسيط ، الإنحراف معياري ، معامل الإنلواء ، ومعامل التقرطح ، لتحديد خصائص وشكل متغيرات عينة البحث ، تمهدأ للحكم الموضوعي على مدى تماثل متغيرات الدراسة.

٢/٢/٦ اختبار Jarque-Bera :

لقياس مدى اعتدالية توزيع متغيرات الدراسة السابقة ، تم استخدام اختبار Jarque-Bera ، فى ضوء فرض العدم بأن المتغيرات البحثية تتبع التوزيع الطبيعي، وذلك عند مستوى معنوية أكبر من (٠.٠٥).

٣/٢/٦ اختبار استقرار السلسلة الزمنية :Unit Root Test

حيث أنه يشترط لإستقرار السلسلة الزمنية أن الوسط الحسابي والتباين ثابت عبر الزمن ، كما ان التغير يعتمد على المسافة بين نقطتين زميتين ولا يرتبط بالفترة الزمنية ، ومن ثم ضرورة اختبار استقرار هذه السلسلة وتحديد درجة استقرارها حتى نصل إلى نتائج موضوعية دقيقة بشأن نموذجي الشبكات العصبية الإصطناعية والخوارزميات الجينية الوراثية ، لذلك فقد تم استخدام عدة اختبارات من أهمها: اختبار Dickey-Fuller ، اختبار Philips-Perron (Gujarati ٢٠١٢).

٤/٢/٦ اختبار تكامل السلسلة الزمنية :Cointegration Test

لقياس مدى تكامل المتغيرات البحثية محل البحث ، والتعرف على العلاقات التوازنية في الأجل الطويل والحصول على تقديرات حقيقية (محمد عبد السميم، ٢٠١١)

، فقد تم اختبار التكامل المشترك بين تلك المتغيرات من خلال اختبار- Phillips-Ouliaris

٥/١٦ منهجة نموذج الشبكات العصبية الإصطناعية (ANN) :

يمر بناء نموذج الشبكات العصبية بعدة مراحل يمكن توضيحها على النحو التالي:

- تشكيل قاعدة المعطيات وهنا يتم تجميع كل البيانات والمعلومات الخاصة من خلال مجموعة من المتغيرات الكمية والنوعية، ويتم عمل إجراء بعض المعالجات الأولية على هذه المتغيرات وذلك لتجنب تأثير القيم الشاذة (المتطرفة) .
- هندسة النموذج: وفي هذه الخطوة يتم تحديد عدد الطبقات التي تكون النموذج (بنية الشبكة) وأيضاً تحديد عدد العصبونات اللازمة والموجودة في كل طبقة.
- مرحلة التعلم: وفيها يتم إنشاء النموذج العصبي من أجل التنبؤ وذلك باستخدام عينة التعلم ، وهنا يتم تدريب الشبكة عبر مجموعة من المراحل التي تساعد على تدريب الخطأ لأقل حد ممكن .
- مرحلة الإختيار: وهنا يتم استخدام عينة مستقلة تماماً عن عينة التعلم للتأكد من أن الشبكة قد تعلمت بالشكل الكافي.

وقد سبق استعراض طريقة عمل الشبكات العصبية الإصطناعية وتبين أن صيغة المخرجات والناتجة عن دالة التجميع (الدالة اللوجستية Logistic function) والتي تم فيها ضرب كل قيمة مدخلات (X_i) في وزنها (W_j) كانت كالتالي:

$$\Delta W_{ij}(k+1) = \eta \delta_j X_i + \rho \Delta W_{ij}(k)$$

لطبقة المخفية $\delta_j = f'(net) \sum \delta_j W_{ij}$

طبقة المخرجات $\delta_j = f'(net)(d_j - y_j)$

ρ : وطأة التأثير Momentum Term

i : مقدار التعديل على وزن الخلية $j, \Delta W_{ij}$

η : معامل نسبة التعلم Learning rate

δ : معامل تعديل الأوزان (الفرق بين الإشارة الخارجية والقيمة المطلوبة)

d : القيمة المطلوبة desired value

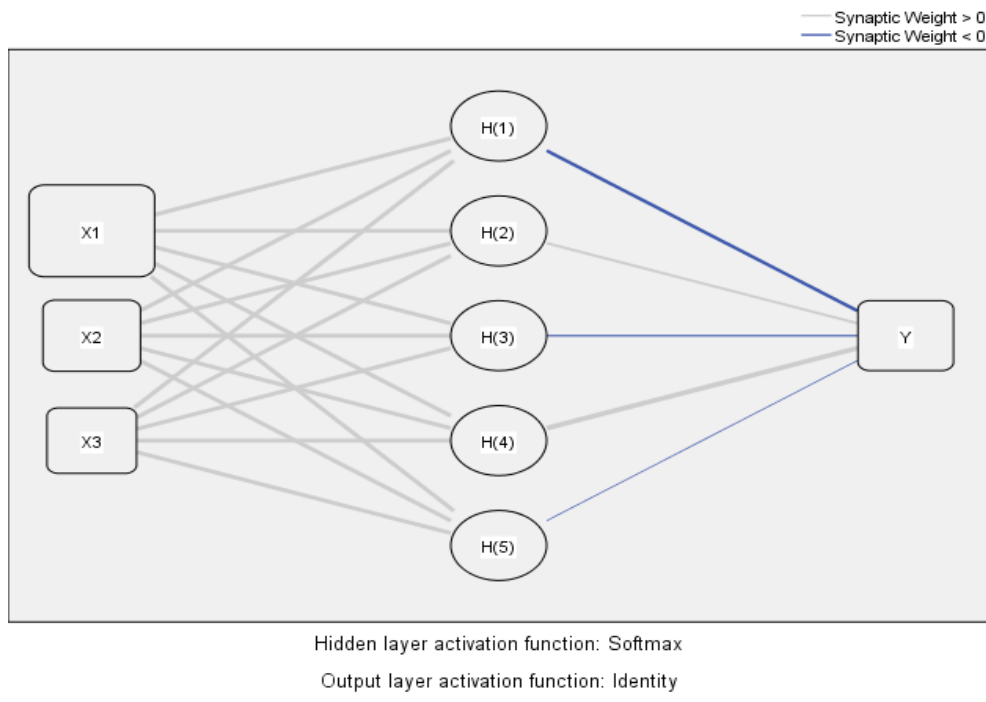
y : قيمة الإشارة الخارجية k مؤشر التكرار Iteration index

$$MAE = \frac{\sum_{t=1}^N |E_t|}{N}$$
$$MAPE = \frac{\sum_{t=1}^N \left| \frac{E_t}{Y_t} \right|}{N}$$

$$RMSE = \sqrt{\frac{\sum_{t=1}^N E_t^2}{N}}$$
$$U = \frac{\sqrt{\frac{1}{n} \sum_{t=1}^n e_t^2}}{\sqrt{\frac{1}{n} \sum_{t=1}^n f_t^2} + \sqrt{\frac{1}{n} \sum_{t=1}^n y_t^2}}$$

وقد تم استخدام البيانات الخاصة بمتغيرات هامش ربح الإكتتاب حيث أن هامش ربح الإكتتاب دالة في كل من: معدل الخسائر ، معدل العمولات وتكليف الإنتاج، ومعدل المعرفات العمومية والإدارية، وقد كانت مخرجات نموذج الشبكات العصبية كما يلي:

بالنسبة للقطاع العام كانت معمارية الشبكة العصبية كما يلي:



وكان نتائج القطاع العام كما ينضح من الجدول التالي:

جدول (٣)

نتائج الشبكات العصبية للقطاع العام

Parameter Estimates

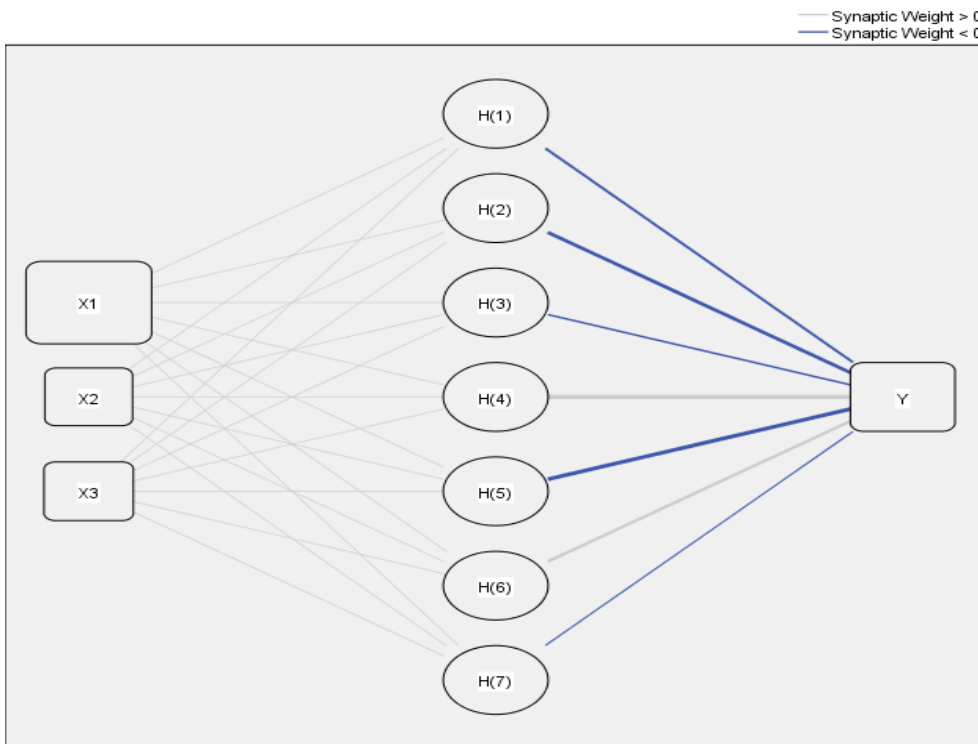
Predictor		Predicted					Output Layer	
		Hidden Layer ^a						
		H(1)	H(2)	H(3)	H(4)	H(5)		
Input Layer	X1	.966	.123	.078	.000	.153		
	X2	.507	.000	.389	.611	1.000		
	X3	.173	.000	.846	.769	1.000		
Hidden Unit Width		.126	.126	.126	.126	.126		
Hidden Layer	H(1)						-.962-	
	H(2)						.203	
	H(3)						-.172-	
	H(4)						2.037	
	H(5)						-.145-	

a. Displays the center vector for each hidden unit.

استخدام الشبكات العصبية الاصطناعية والخوارزميات الجينية الوراثية في تقديرها مش دفع الإكتتابه ...

د/ محمد محمود هاشم

أما بالنسبة للقطاع الخاص فكانت معمارية الشبكة العصبية كما يلي:



Hidden layer activation function: Softmax

Output layer activation function: Identity

وكان النتائج الخاصة بالقطاع الخاص كما يتضح من الجدول التالي:

جدول (٤)

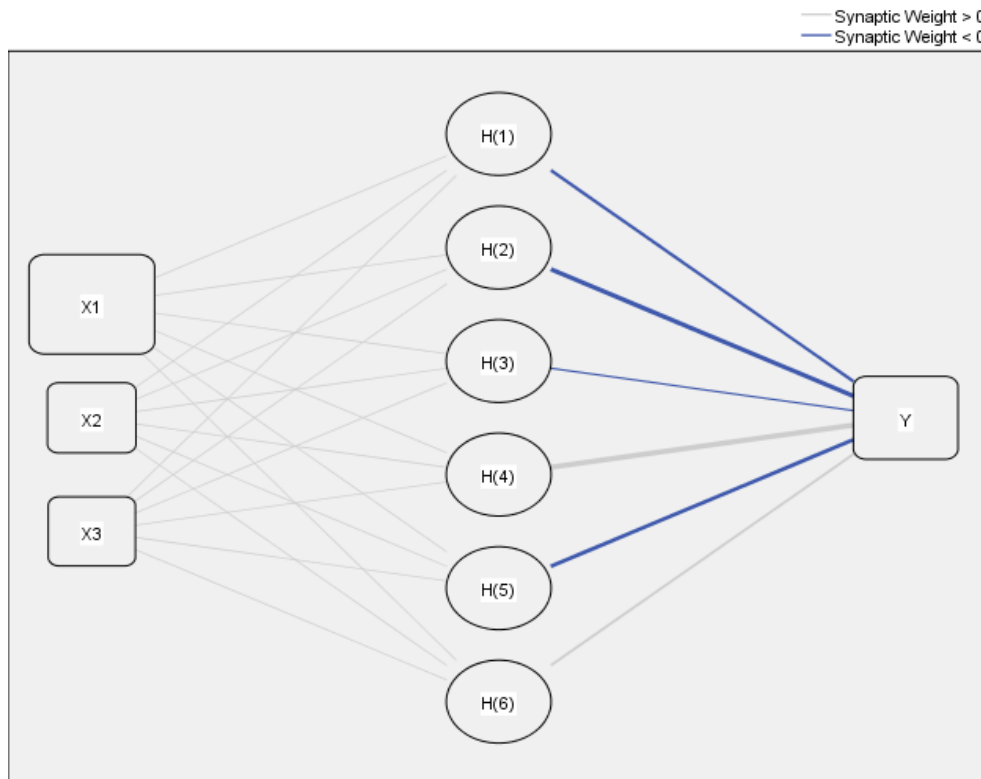
نتائج الشبكات العصبية للقطاع الخاص

Parameter Estimates

Predictor	Predicted							Output Layer	
	Hidden Layer ^a								
	H(1)	H(2)	H(3)	H(4)	H(5)	H(6)	H(7)		
Input Layer	X1 .873	.563	1.000	.452	.439	.000	.281		
	X2 1.000	.667	.515	.576	.424	.000	.727		
	X3 .208	.000	.096	.176	.320	.560	1.000		
Hidden Unit Width	1.140	1.140	1.140	1.140	1.140	1.140	1.140		
Hidden Layer H(1)								-18.595-	
H(2)								-54.421-	
H(3)								-13.673-	
H(4)								187.987	
H(5)								-120.214-	
H(6)								20.005	
H(7)								-2.349-	

a. Displays the center vector for each hidden unit.

وأخيرًا بالنسبة لـ (الجملة السوق) القطاع العام والقطاع الخاص كانت معمارية
الشبكة العصبية كما يلي:



Hidden layer activation function: Softmax

Output layer activation function: Identity

وكان نتائج تشغيل الشبكة العصبية لجمالي السوق كما يتضح من الجدول الآتي:

جدول (٥)
نتائج الشبكات العصبية لجمالي السوق
Parameter Estimates

Predictor	Predicted						Output Layer	
	Hidden Layer ^a							
	H(1)	H(2)	H(3)	H(4)	H(5)	H(6)		
Input Layer	X1 .608 X3 Hidden Unit Width	1.000 .314 .042 1.140	.932 .000 .958 1.140	.895 .275 .000 1.140	.452 .529 .625 1.140	.000 .750 .750 1.140	.632 1.000 1.000 1.140	
Hidden Layer	H(1) H(2) H(3) H(4) H(5) H(6)						-13.552- -45.194- -10.119- 75.079 -24.363- 10.792	

a. Displays the center vector for each hidden unit.

٦/٢/٦ منهجية نموذج الخوارزميات الجينية الوراثية (GA) :

اعتمدت منهجية الخوارزميات الجينية الوراثية على المتغيرات المستقلة والتابعة الواردة بنفس نموذج الشبكات العصبية الإصطناعية ، باعتبار أن هامش ربح الافتتاح دالة في كل من: معدل الخسائر ، معدل العمولات وتكليف الإنتاج ، ومعدل المصروفات العمومية والإدارية ، حتى يتسنى إجراء عملية المقارنة المعيارية بناءً على المعابر الإحصائية المعروفة، ومن أهمها: معامل التحديد للأجيال (R^2) ،

معامل متابينة ثايل U ، اختبار F-Test ، Theil's inequality ، متوسط الخطأ المطلق MAE ، متوسط الخطأ المطلق النسبي MAPE ، الجذر التربيعي لمتوسط مربعات الخطأ Schwarz criterion ، Akaike info criterion ، RMSE ، Breusch-Godfrey ، Durbin-Watson ، Hannan-Quinn criterion Ramsey ، Heteroskedasticity Test ، Serial Correlation LM Test ، RESET Test ، الأهمية النسبية للمتغيرات.

٣/٦ اختبار صحة الفروض البحثية:

١/٣/٦ الفرض البحثي الرئيس:

ينص الفرض البحثي الرئيس على ما يلى:

" يمكن استخدام نموذجي الشبكات العصبية الإصطناعية ANN، والخوارزميات الجينية الوراثية (GA) في تقدير هامش ربح الافتتاح في فرع تأمين أجسام السفن ".

وقد تفرع من الفرض الرئيس ، الفروض الفرعية الثلاثة التالية:.

H_{1.1} يمكن استخدام نموذجي الشبكات العصبية الإصطناعية ANN، والخوارزميات الجينية الوراثية (GA) في تقدير هامش ربح الافتتاح في فرع تأمين أجسام السفن على مستوى القطاع العام.

H_{1.2} يمكن استخدام نموذجي الشبكات العصبية الإصطناعية ANN، والخوارزميات الجينية الوراثية (GA) في تقدير هامش ربح الافتتاح في فرع تأمين أجسام السفن على مستوى القطاع الخاص.

H_{1.3} يمكن استخدام نموذجي الشبكات العصبية الإصطناعية ANN، والخوارزميات الجينية الوراثية (GA) في تقدير هامش ربح الافتتاح في فرع تأمين أجسام السفن على مستوى إجمالي السوق.

٢/٣/٦ متغيرات الفرض البحثي الرئيس :

تنقسم متغيرات الفرض البحثي الرئيس إلى:

٣/٣/٦ المتغيرات المستقلة وتمثل في كل من:

- معدل الخسائر.
- معدل العمولات وتكليف الإنتاج.
- معدل المتصروفات العمومية والإدارية.

٦/٣/٤ المتغير التابع: يتمثل في هامش ربح الافتتاح.

٦/٤ الأسلوب الإحصائي المستخدم وكيفية إتخاذ القرار الإحصائي:

تم استخدام نموذجي الشبكات العصبية الإصطناعية، والخوارزميات الجينية الوراثية، بهدف تقييم هامش ربح الافتتاح بإعتباره دالة في كل من: معدل الخسائر ، معدل العمولات وتكليف الإنتاج، ومعدل المتصروفات العمومية والإدارية، ثم إجراء المقارنة المعيارية بين كلا المنهجين لاستبطاط الأفضلية بينهما ، واستناداً جودة التوفيق بناءً على المعايير الإحصائية المقترنة ، بالتطبيق على مستوى كل من القطاع العام والقطاع الخاص، وإجمالي السوق المصري.

٦/٥ الفرض البحثي الفرعى الأول H1.1 والقاتل " يمكن استخدام نموذجي الشبكات العصبية الإصطناعية ANN، والخوارزميات الجينية الوراثية (GA) في تقييم هامش ربح الافتتاح في فرع تأمين أجسام السفن على مستوى القطاع العام".

استخدام الشبكات العصبية الإصطناعية والخوارزميات الجينية الوراثية في تقديرها من ربح الإكتتاب ...
د/ محمد محمود هاشم

١/٥/٦ اختبار Jarque-Bera لقياس اعتدالية متغيرات هامش ربح الإكتتاب في القطاع العام:

جدول رقم (٦)

اختبار Jarque-Bera لقياس اعتدالية متغيرات هامش ربح الإكتتاب في القطاع العام:

العدد	مستوى معنوية	Jarque-Bera	معامل التفرطح	معامل الالتواء	الإنحراف المعياري	الوسيل	المتوسط الحسابي	المقاييس لموشرات
10	0.97	0.06	2.82	0.16	28.49	37.75	31.23	هامش ربح الإكتتاب في القطاع العام
10	0.45	1.6	2.79	0.97	20.74	39.95	52.18	معدل الخسائر في القطاع العام
10	0.98	0.05	2.81	0.15	2	11.65	11.82	معدل العمولات وتكاليف الإنتاج في القطاع العام
10	0.56	1.15	2.72	-0.82	0.73	9.2	9.02	معدل المصاروفات العمومية والإدارية في القطاع العام

* دالة عند مستوى معنوية أقل من (٠.٠٠١).

يتضح من الجدول رقم (٦) مايلي:

- نجد أنه بإستخدام إختبار Jarque-Bera ، قد يتضح اعتدالية توزيع متغيرات الفرض الفرعي الأول وهي هامش ربح الإكتتاب ، معدل الخسائر ، معدل العمولات وتكاليف الإنتاج، ومعدل المصاروفات العمومية والإدارية في القطاع العام ، عند مستوى معنوية أكبر من (٠.٠٠٥).

٢/٥/٦ اختبار استقرار السلسلة الزمنية Unit Root Test لمتغيرات هامش ربح الإكتتاب في القطاع العام:

جدول رقم (٧)

نتائج اختبارات جذر الوحدة لقياس استقرار متغيرات هامش ربح الإكتتاب في القطاع العام

القطاع العام			القطاع
القرار الإحصائي	مستوى المعنوية	القيمة المحسوبة	الاختبارات
H0 رفض	*** .٠٠٠١	-5.38180	Levin, Lin & Chu t
H0 رفض	*** .٠٠٠١	36.9993	ADF - Fisher Chi-square
H0 رفض	*** .٠٠٠١	46.8643	PP - Fisher Chi-square

ـ دالة عند مستوى معنوية أقل من .٠٠٠١ ***

يتضح من الجدول رقم (٧) أن القيمة المحسوبة لإحصاءة اختبارات كل من: ADF, PP, LLC ، دالة عند مستوى معنوية أقل من (٠٠٠١) ، ومن ثم رفض فرض عدم القائل بوجود جذر الوحدة، الأمر الذي يدل على سكون السلسلة الزمنية لمتغيرات الفرض الفرعي الأول ، واستقرارها عند المستوى (١) ~ I وفقاً لحالة عدم وجود حد ثابت.

٣/٥/٦ اختبار التكامل المشترك بين متغيرات هامش ربح الإكتتاب في القطاع العام:

تم اختبار التكامل المشترك بين متغيرات هامش ربح الإكتتاب ، معدل الخسائر ، معدل العمولات وتكليف الإنتاج، ومعدل المصاروفات العمومية

استخدام الشبكات العصبية الإصطناعية والخوارزميات الجينية الوراثية في تقييم هامش ربح الإكتتاب ...
د/ محمد محمود هاشم

والإدارية في القطاع العام بإستخدام اختبار Phillips-Ouliaris ، وذلك على النحو التالي:

جدول رقم (٨)

نتائج اختبار التكامل المشترك لقياس التوازن طويل الأجل بين متغيرات هامش ربح الإكتتاب في القطاع العام

مستوى المعنوية	<i>z-statistic</i>	مستوى المعنوية	<i>tau-statistic</i>	المؤشرات
0.7949	-7.035048	*** 0.001	-11.65394	هامش ربح الإكتتاب في القطاع العام
0.9044	-5.722431	0.3453	-3.498666	معدل الخسائر في القطاع العام
*** 0.001	-15.02363	* 0.0278	-6.109547	معدل العمولات وتكليف الإنتاج في القطاع العام
* 0.0384	-11.40726	0.1944	-4.131541	معدل المصروفات العمومية والإدارية في القطاع العام

** دالة عند مستوى معنوية أقل من ٠.٠٠١

اتضح من الجدول رقم (٨) أن القيمة المحسوبة لإحصاء *tau-statistic* ، دالة عند مستوى معنوية أقل من (٠.٠٥) ، لمتغيرات كل من: هامش ربح الإكتتاب ، ومعدل العمولات وتكليف الإنتاج ، ومن ثم رفض فرض عدم الفائل بعدم وجود علاقات توازنية في الأجل الطويل بين متغيرات تقييم هامش ربح الإكتتاب ، مما يدل على وجود علاقات توازنية طويلة الأجل بين تلك المتغيرات محل البحث.

٤/٥ المقارنة بين نموذجي الشبكات العصبية الإصطناعية ANNS والخوارزميات الجينية الوراثية عند تقدير هامش ربح الافتتاح في القطاع العام

جدول رقم (٩)

المقارنة بين نموذجي الشبكات العصبية الإصطناعية ANNs والخوارزميات الجينية الوراثية عند تقدير ربح الافتتاح في القطاع العام

الخوارزميات الجينية الوراثية	نموذج الشبكات العصبية الإصطناعية ANN _S	المعايير الإحصائية
%79.9	%89.5	١- معامل التحديد R^2
***31,8	***68.2	٢- اختبار F-Test
0.138	0.089	٣- معامل متابينة ثايل U Theil's inequality
7.97	7.17	Akaike info criterion - ٤
8.04	7.23	Schwarz criterion - ٥
7.91	7.10	Hannan-Quinn criterion - ٦
9.23	5.33	٧- متوسط الخطأ المطلق MAE
31.91	30.96	٨- متوسط الخطأ المطلق النسبي MAPE
10.70	7.14	٩- الجذر التربيعي لمتوسط مربعات الخطأ RMSE
0.788 (sig>0.05) غير دال	2.15 (sig>0.05) غير دال	١٠- اختبار اعتدالية البوافي Jarque-Bera
F-statistic=0.63 Sig=0.56	F-statistic=1.26 Sig=0.35	١١- اختبار الإرتباط التسلسلي بين البوافي Breusch-Godfrey Serial Correlation LM Test

F-statistic=0.073 Sig=0.794	F-statistic=1.45 Sig=0.26	١٢ - اختبار ثبات تباين الأخطاء Heteroskedasticity Test: Breusch-Pagan-Godfrey
Likelihood ratio=14.04 Sig=0.001	Likelihood ratio=1.56 Sig=0.21	١٣ - اختبار جودة توصيف النموذج: Ramsey RESET Test
X1=27% , x2=45.1%,x3=28	X1=51.9% ,x2=27.5%,x3=20.6	١٤ - الأهمية النسبية

يتضح من الجدول رقم (٩) ما يلي:

- فيما يتعلق بالقدرة التفسيرية للنموذج من خلال معامل التحديد، نجد أن المتغيرات الخارجية تعمل على تفسير التغير في هامش ربح الافتتاح في القطاع العام ، بنسبة (٨٩.٥٪) بنموذج الشبكات العصبية الإصطناعية ANNs ، مقابل (٧٩.٩٪) لنموذج الخوارزميات الجينية الوراثية.
- فيما يتعلق بالقدرة التنبؤية للنموذج من خلال مت biếnة ثايل U ، نجد أن دقة التقديرات بمؤشر هامش ربح الافتتاح في القطاع العام بنموذج الشبكات العصبية الإصطناعية ANNs قد بلغ (٩١٪) ، مقابل (٨٦٪) لنموذج الخوارزميات الجينية الوراثية.
- فيما يتعلق بجودة توفيق النموذج من خلال إختبار F-Test ، نجد أنها دالة عند مستوى معنوية أقل من (٠٠٠١) بنموذج الشبكات العصبية الإصطناعية ANNs ، مقابل (٠٠٠١) لنموذج الخوارزميات الجينية الوراثية في القطاع العام، وإن كانت ذات قيمة محسوبة أكبر بنموذج الشبكات العصبية الإصطناعية ، مقارنة بقيمتها في نموذج الخوارزميات الجينية الوراثية .

- فيما يتعلق بمعايير أخطاء النموذج لكل من: RMSE ، MAE ، $MAPE$ ، نجد أنها قد بلغت بنموذج الشبكات العصبية الإصطناعية ANN_S (٥.٣٣) ، (٦٦٪) ، (٧.١٤٪) على الترتيب ، مقابل (٩.٢٣٪) ، (٩١٪) ، (١٠.٧٠٪) على الترتيب ، بنموذج الخوارزميات الجينية الوراثية في القطاع العام.
- فيما يتعلق بمؤشرات المقارنة بين النماذج الإحصائية لكل من: AIC ، SC ، HQC ، نجد أنها قد بلغت بنموذج الشبكات العصبية الإصطناعية ANN_S (٧،١٧٪) ، (٧،٢٣٪) ، (٧،١٠٪) ، (٧،٩١٪) على الترتيب ، بنموذج الخوارزميات الجينية الوراثية.
- فيما يتعلق بإعتدالية توزيع أخطاء النموذج بالنسبة للقطاع العام باستخدام اختبار Jarque-Bera العصبية الإصطناعية ANN_S ، ونموذج الخوارزميات الجينية الوراثية ، غير دالة عند مستوى معنوية أكبر من (٠.٠٥).
- فيما يتعلق بإختبار الإرتباط التسلسلي بين الباقي Breusch-Godfrey Serial Correlation LM Test ، نجد أن القيمة المحسوبة لكلاً منها ، بنموذجي الشبكات العصبية الإصطناعية ANN_S ، ونموذج الخوارزميات الجينية الوراثية ، غير دالة عند مستوى معنوية أكبر من (٠.٠٥)، مما يدل على أنه لا يوجد إرتباط تسلسلي في سلسلة الباقي لهامش ربح الافتخار في القطاع العام.
- فيما يتعلق بإختبار ثبات تباين الأخطاء Heteroskedasticity Test: Breusch-Pagan-Godfrey Test ، نجد أن القيمة المحسوبة لكلاً منها ، (نموذج) الشبكات العصبية الإصطناعية ANN_S ، ونموذج الخوارزميات الجينية الوراثية () ، غير دالة عند مستوى معنوية أكبر من (٠.٠٥)، مما يدل على ثبات تباين أخطاء نموذج الإنحدار في سلسلة الباقي لهامش ربح الافتخار في القطاع العام.
- فيما يتعلق بإختبار جودة توصيف النموذج Ramsey RESET Test ، نجد أن القيمة المحسوبة بنموذج الشبكات العصبية الإصطناعية ANN_S ، غير دالة عند مستوى معنوية أكبر من (٠.٠٥)، مقابل أنها ذات دالة إحصائية بنموذج

- الخوارزميات الجينية الوراثية ، مما يدل على كفاية وملائمة المتغيرات المستقلة
بنموذج الشبكات العصبية الإصطناعية ANNs ، بينما يعاني الخوارزميات
الجينية الوراثية من تدني دقة التوصيف لها من وجهة نظرها في القطاع العام .
- عدم إتفاق كلا النموذجين في الأهمية النسبية لمتغير معدل الخسارة في القطاع العام ، حيث بلغت (٥٢%) بنموذج الشبكات العصبية الإصطناعية ANNs ، مقابل (٢٧%) بنموذج الخوارزميات الجينية الوراثية .
 - ٥/٥/٦ التنبؤ بالقيم الفعلية والقيم المتوقعة لها من وجهة نظرها في القطاع العام:
الشبكات العصبية الإصطناعية والخوارزميات الجينية الوراثية في القطاع العام :

جدول رقم (١٠)

القيم الفعلية والمتوقعة وفق نموذجي الشبكات العصبية الإصطناعية ANNs والخوارزميات
الجينية الوراثية لها من وجهة نظرها في القطاع العام

الخوارزميات الجينية الوراثية		نموذج الشبكات العصبية الإصطناعية		السنوات
القيم المتوقعة	القيم الفعلية	القيم المتوقعة	القيم الفعلية	
10.39	8	12.11	8	٢٠٠٨
-17.20	-17.2	12.10	-17.2	٢٠٠٩
10.82	11.9	12.10	11.9	٢٠١٠
11.15	12.3	12.10	12.3	٢٠١١
47.85	43.7	43.70	43.7	٢٠١٢
48.58	46.2	43.70	46.2	٢٠١٣
49.32	41.2	41.20	41.2	٢٠١٤
51.86	85.8	85.80	85.8	٢٠١٥
53.97	46.1	38.17	46.1	٢٠١٦
46.95	34.3	34.30	34.3	٢٠١٧

يتضح من الجدول السابق أن القيم المتوقعة بالنسبة للقطاع العام وفقاً لنموذج
الشبكات العصبية الإصطناعية أدق من القيم المتوقعة وفقاً لنموذج الخوارزميات
الجينية الوراثية.

استخدام الشبكات العصبية الإصطناعية والخوارزميات الجينية الوراثية في تقييمه...
د/ محمد محمود هاشم

٦/٦ الفرض البحثي الفرعى الثاني H1.2 والقائل بأنه يمكن استخدام نموذجي للشبكات العصبية الإصطناعية ANN، والخوارزميات الجينية الوراثية في التنبؤ بهامش ربح الإكتتاب في فرع تأمين أجسام السفن على مستوى القطاع الخاص.

١/٦/٦ اختبار Jarque-Bera لقياس اعتدالية متغيرات هامش ربح الإكتتاب في القطاع الخاص:

جدول رقم (١١)

اختبار Jarque-Bera لقياس اعتدالية متغيرات هامش ربح الإكتتاب في القطاع الخاص

العدد	مستوى المعنوية	Jarque-Bera	معامل التفرطح	معامل الإنماء	الإنحراف المعياري	الوسيل	المتوسط الحسابي	المقاييس المنشرات
10	0.960	0.070	2.610	0.080	23.290	55.350	52.140	هامش ربح الإكتتاب في القطاع الخاص
10	0.900	0.220	2.290	0.060	24.250	19.950	23.550	معدل الخسائر في القطاع الخاص
10	0.960	0.080	2.600	0.080	0.940	11.650	11.690	معدل العمولات وتكليف الانتاج في القطاع الخاص
10	0.550	1.200	1.760	0.580	2.630	10.650	11.760	معدل المصرفات العمومية والإدارية في القطاع الخاص

* دالة عند مستوى معنوية أقل من (٠.٠٠١).

يتضح من الجدول رقم (١١) مايلي:

أنه بإستخدام إختبار Jarque-Bera ، قد يتضح إعتدالية توزيع متغيرات كل من: هامش ربح الافتتاح ، معدل الخسائر ، معدل العمولات وتكاليف الإنتاج، ومعدل المصروفات العمومية والإدارية في القطاع الخاص عند مستوى معنوية أكبر من (٥٪).

٢/٦ اختبار استقرار السلسلة الزمنية Unit Root Test لمتغيرات هامش ربح الافتتاح في القطاع الخاص:

جدول رقم (١٢)

نتائج اختبارات جذر الوحدة لقياس استقرار متغيرات هامش ربح الافتتاح في القطاع الخاص

القطاع الخاص			القطاع
القرار الإحصائي	مستوى المعنوية	القيمة المحسوبة	الإختبارات
H0 رفض	***٠٠٠١	-5.66451	Levin, Lin & Chu t
H0 رفض	***٠٠٠١	42.2136	ADF - Fisher Chi-square
H0 رفض	***٠٠٠١	43.3969	PP - Fisher Chi-square

*** دالة عند مستوى معنوية أقل من ٠.٠٠١

يتضح من الجدول رقم (١٢) أن القيمة المحسوبة لإحصاءة اختبارات كل من: ADF, PP, LLC فرض عدم القائل بوجود جذر الوحدة، الأمر الذي يدل على سكون السلسلة الزمنية لمتغيرات هامش ربح الافتتاح في القطاع الخاص، واستقرارها عند المستوى (~ 1) وفقاً لحالة عدم وجود حد ثابت.

٣/٦/٦ اختبار التكامل المشترك بين متغيرات هامش ربح الافتتاح في القطاع الخاص:

تم إختبار التكامل المشترك بين متغيرات هامش ربح الافتتاح ، معدل الخسائر ، ومعدل المصروفات العمومية والإدارية في القطاع الخاص، بإستخدام إختبار Phillips-Ouliaris ، وذلك على النحو التالي:

جدول رقم (١٣)

نتائج اختبار التكامل المشترك لقياس التوازن طويل الآجل بين متغيرات هامش ربح الافتتاح في القطاع الخاص

مستوى المعنوية	<i>z-statistic</i>	مستوى المعنوية	<i>tau-statistic</i>	المؤشرات
0.2975	-10.63817	* 0.0100	-7.189849	هامش ربح الافتتاح في القطاع الخاص
0.0778	-12.12502	* 0.0180	-6.560358	معدل الخسائر في القطاع الخاص
0.8608	-6.261261	0.1791	-4.213758	معدل العمولات وتكاليف الإنتاج في القطاع الخاص
*** 0.001	-17.99151	* 0.0578	-5.352759	معدل المصروفات العمومية والإدارية في القطاع الخاص

** دالة عند مستوى معنوية أقل من ٠.٠٠١

يتضح من الجدول رقم (١٣) أن القيمة المحسوبة لاحصاء *tau-statistic* ، دالة عند مستوى معنوية أقل من ٠.٠٥ ، لمتغيرات كل من: هامش ربح الافتتاح ،

معدل الخسائر ، ومعدل المتصروفات العمومية والإدارية في القطاع الخاص ، ومن ثم رفض العدم القائل بعدم وجود علاقات توازنية في الأجل الطويل بين متغيرات هامش ربح الافتتاح في القطاع الخاص، مما يدل على وجود علاقات توازنية طويلة الأجل بين تلك المتغيرات الخاصة بالمتغير الفرعي الثاني.

٤/٦ المقارنة بين نموذجي الشبكات العصبية الإصطناعية ANN_S والخوارزميات الجينية الوراثية في التنبؤ بهامش ربح الافتتاح في القطاع الخاص

جدول رقم (١٤)

المقارنة بين نموذج الشبكات العصبية الإصطناعية ANN_S والخوارزميات الجينية الوراثية في التنبؤ بهامش ربح الافتتاح في القطاع الخاص

الخوارزميات الجينية الوراثية	نموذج الشبكات العصبية الإصطناعية ANN_S	المعايير الإحصائية
99.6%	99.5%	١- معامل التحديد R^2
***1753.1	***1564.9	٢- اختبار F-Test
0.013	0.014	٣- معامل متابينة ثايلد U
4.02	4.13	Akaike info criterion
4.08	4.19	Schwarz criterion-5
3.96	4.06	Hannan-Quinn criterion-6
0.87	1.15	٧- متوسط الخطأ المطلق MAE
1.71	2.37	٨- متوسط الخطأ المطلق النسبي MAPE
1.48	1.56	٩- الجذر التربيعي لمتوسط مربعات الخطأ RMSE
4.02 (sig>0.05) غير دال	*6.77 (sig<0.05) دال	١٠- اختبار اعتدالية ال بواسطه Jarque-Bera

F-statistic=0.38 Sig=0.69	F-statistic=4.66 Sig=0.06	١١- اختبار الارتباط التسلسلي بين الباقي Serial Correlation LM Test
F-statistic=0.014 Sig=0.91	F-statistic=0.027 Sig=0.873	١٢- اختبار ثبات تباين الأخطاء Heteroskedasticity Test: Breusch-Pagan-Godfrey
Likelihood ratio=0.007 Sig=0.93	Likelihood ratio=0.766 Sig=0.38	١٣- اختبار جودة توصيف النموذج: Ramsey RESET Test
X1=76.5% , x2=23.5%	X1=81.1% ,x2=7.9%,x3=11	١٤- الأهمية النسبية

يتضح من الجدول رقم (١٤) ما يلى:

- فيما يتعلق بالقدرة التفسيرية للنموذج من خلال معامل التحديد، نجد أن المتغيرات الخارجية تعمل على تفسير التغيير في هامش ربح الافتتاح في القطاع الخاص ، بنسبة (٩٩.٥٪) بنموذج الشبكات العصبية الإصطناعية ANNS ، مقابل (٩٩.٦٪) لنموذج الخوارزميات الجينية الوراثية.
- فيما يتعلق بالقدرة التنبؤية للنموذج من خلال متابعة ثايل U ، نجد أن دقة التقديرات بمؤشر هامش ربح الافتتاح في القطاع الخاص بنموذج الشبكات العصبية الإصطناعية ANN قد بلغ (٩٨.٦٪) ، مقابل (٩٨.٧٪) لنموذج الخوارزميات الجينية الوراثية.
- فيما يتعلق بجودة توفيق النموذج من خلال إختبار F-Test ، نجد أنها دالة عند مستوى معنوية أقل من (٠.٠٠١) بنموذج الشبكات العصبية الإصطناعية ANNS ، مقابل (٠.٠٠١) لنموذج الخوارزميات الجينية الوراثية ، وإن كانت ذات قيمة محسوبة أكبر بنموذج الخوارزميات الجينية الوراثية ، مقارنة بقيمتها في نموذج الشبكات العصبية الإصطناعية.

- فيما يتعلق بمعايير أخطاء النموذج لكل من: RMSE ، MAE ، $MAPE$ ، نجد أنها قد بلغت بنموذج الشبكات العصبية الإصطناعية ANN_S (١.١٥)، (٢.٣٧)، (١.٥٦) على الترتيب ، مقابل (٠.٨٧) ، (١.٧١)، (١.٤٨) على الترتيب ، بنموذج الخوارزميات الجينية الوراثية.
- فيما يتعلق بمؤشرات المقارنة بين النماذج الإحصائية لكل من: SC ، AIC ، HQC ، نجد أنها قد بلغت بنموذج الشبكات العصبية الإصطناعية ANN_S (٤.١٣)، (٤.١٩)، (٤.١٦)، (٤.٠٦) على الترتيب ، مقابل (٤.٠٢) ، (٤.٠٨)، (٣.٩٦) على الترتيب ، بنموذج الخوارزميات الجينية الوراثية.
- فيما يتعلق بإعتدالية توزيع أخطاء النموذج باستخدام اختبار Jarque-Bera ، نجد أن القيمة المحسوبة دالة إحصائياً بنموذج الشبكات العصبية الإصطناعية ANN_S ، بينما غير دالة بنموذج الخوارزميات الجينية الوراثية ، عند مستوى معنوية أكبر من (٠.٠٥).
- فيما يتعلق بإختبار الإرتباط التسلسلي بين الباقي Breusch-Godfrey Serial Correlation LM Test ، نجد أن القيمة المحسوبة لكلاً منها ، بنموذجي الشبكات العصبية الإصطناعية ANN_S ، ونموذج الخوارزميات الجينية الوراثية ، غير دالة عند مستوى معنوية أكبر من (٠.٠٥)، مما يدل على أنه لا يوجد إرتباط تسلسلي في سلسلة الباقي لهامش ربح الاكتتاب في القطاع الخاص.
- فيما يتعلق بإختبار ثبات تباين الأخطاء Heteroskedasticity Test: Breusch-Pagan-Godfrey Test ، نجد أن القيمة المحسوبة لكلاً منها ، بنموذجي الشبكات العصبية الإصطناعية ANN_S ، ونموذج الخوارزميات الجينية الوراثية ، غير دالة عند مستوى معنوية أكبر من (٠.٠٥)، مما يدل على ثبات تباين أخطاء نموذج الإنحدار في سلسلة الباقي لهامش ربح الاكتتاب في القطاع الخاص.
- فيما يتعلق بإختبار جودة توصيف النموذج Ramsey RESET Test ، نجد أن القيمة المحسوبة بنموذجي الشبكات العصبية الإصطناعية ANN_S ، والخوارزميات الجينية الوراثية ، غير دالة عند مستوى معنوية أكبر من (٠.٠٥)،

ما يدل على كفاية وملائمة المتغيرات المستقلة بالنموذج ، ودقة توصيف النموذج
لهامش ربح الافتتاب في القطاع الخاص.

- اتفق كلا النموذجين في الأهمية النسبية لمتغير معدل الخسارة بنسبة لا تقل عن (٨١%) بنموذج الشبكات العصبية الإصطناعية ANNs ، مقابل (٧٧%) لنموذج الخوارزميات الجينية الوراثية.

٥/٦ التنبؤ بالقيم الفعلية والقيم المتوقعة وفق نموذجي الشبكات العصبية الإصطناعية والخوارزميات الجينية الوراثية لهامش ربح الافتتاب في القطاع الخاص:

جدول رقم (١٥)

القيم الفعلية والمتوقعة وفق نموذجي الشبكات العصبية الإصطناعية ANNs والخوارزميات الجينية الوراثية في التنبؤ بهامش ربح الافتتاب في القطاع الخاص

الخوارزميات الجينية الوراثية		نموذج الشبكات العصبية الإصطناعية		السنوات
القيم المتوقعة	القيم الفعلية	القيم المتوقعة	القيم الفعلية	
21.90	21.9	21.40	21.9	٢٠٠٨
51.44	51.3	50.34	51.3	٢٠٠٩
16.00	16	16.80	16	٢٠١٠
35.40	35.4	36.94	35.4	٢٠١١
58.00	59.4	58.35	59.4	٢٠١٢
57.72	60.1	59.61	60.1	٢٠١٣
95.30	95.3	95.69	95.3	٢٠١٤
70.10	70.1	69.57	70.1	٢٠١٥
60.90	60.9	63.63	60.9	٢٠١٦
54.82	51	49.07	51	٢٠١٧

يتضح من الجدول السابق أن القيم المتوقعة بالنسبة للقطاع الخاص وفقاً لنموذج الخوارزميات الجينية الوراثية أدق من القيم المتوقعة وفقاً لنموذج الشبكات العصبية الإصطناعية.

٧/٦ الفرض البحثي الفرعى الثالث والقائل "يمكن تقدير هامش ربح الافتتاح في فرع تأمين أجسام السفن باستخدام نموذجي الشبكات العصبية الإصطناعية ANN، والخوارزميات الجينية الوراثية، على مستوى إجمالي سوق التأمين المصري":

١/٧/٦ اختبار Jarque-Bera لقياس اعتدالية متغيرات هامش ربح الافتتاح على مستوى إجمالي سوق التأمين المصري :

جدول رقم (١٦)

اختبار Jarque-Bera لقياس اعتدالية متغيرات هامش ربح الافتتاح على مستوى إجمالي سوق التأمين المصري

العدد	مستوى المعنوية	Jarque-Bera	معامل التفرطح	معامل الإنلواه	المعياري الإنحراف	الوسيط	المتوسط الحسابي	المقاييس المنشرات
10	0.800	0.450	1.990	0.120	23.750	29.000	30.860	هامش ربح الافتتاح لإجمالي السوق
10	0.800	0.450	2.620	-0.480	26.540	48.850	45.970	معدل الخسائر لإجمالي السوق
10	0.890	0.230	2.600	0.310	1.720	11.200	11.290	معدل العمولات وتكاليف الإنتاج لإجمالي السوق
10	0.670	0.800	2.110	0.530	1.800	10.550	10.580	معدل المصروفات العمومية والإدارية لإجمالي السوق

** دالة عند مستوى معنوية أقل من (٠٠٠١).

يتضح من الجدول رقم (١٦) مايلي:

- أنه بإستخدام اختبار Jarque-Bera يتضح اعتدالية توزيع متغيرات كل من:
هامش ربح الافتتاح ، معدن الخسائر ، معدن العمولات وتكلف الإنتاج ، ومعدل المصاريف العمومية والإدارية ، عند مستوى معنوية أكبر من (٠.٠٥).

٢/٧/٦ اختبار استقرار السلسل الزمنية Unit Root Test لمتغيرات هامش ربح الافتتاح لجمالي السوق:

جدول رقم (١٧)

نتائج اختبارات جذر الوحدة لقياس استقرار متغيرات هامش ربح الافتتاح لجمالي السوق

إجمالي السوق			القطاع
القرار الإحصائي	مستوى المعنوية	القيمة المحسوبة	الاختبارات
H0 رفض	***: .٠٠١	-6.04049	Levin, Lin & Chu t
H0 رفض	***: .٠٠١	38.1284	ADF - Fisher Chi-square
H0 رفض	***: .٠٠١	44.1154	PP - Fisher Chi-square

*** دالة عند مستوى معنوية أقل من .٠٠٠١

يتضح من الجدول رقم (١٧) أن القيمة المحسوبة لإحصاء اختبارات كل من:
ADF, PP, LLC ، دالة عند مستوى معنوية أقل من (٠.٠٠١) ، ومن ثم رفض فرض عدم القائل بوجود جذر الوحدة، الأمر الذي يدل على سكون السلسلة الزمنية لمتغيرات هامش ربح الافتتاح في القطاع العام، واستقرارها عند المستوى (١) ~ I وفقاً لحالة عدم وجود حد ثابت.

٣/٧/٦ اختبار التكامل المشترك بين متغيرات هامش ربح الافتتاح لـجمالي السوق:

تم إختبار التكامل المشترك بين متغيرات هامش ربح الافتتاح ، معدل الخسائر ، ومعدل المصاروفات العمومية والإدارية ، بإستخدام إختبار Phillips-Ouliaris ، وذلك على النحو التالي:

جدول رقم (١٨)

نتائج اختبار التكامل المشترك لقياس التوازن طويل الأجل بين متغيرات هامش ربح الافتتاح لـجمالي السوق

مستوى المعنوية	<i>z-statistic</i>	مستوى المعنوية	<i>tau-statistic</i>	المؤشرات
0.7571	-7.435717	0.0978	-4.832586	هامش ربح الافتتاح لـجمالي السوق
0.7153	-7.806129	*0.0230	-6.305843	معدل الخسائر لـجمالي السوق
0.8983	-5.786966	0.9096	-1.818234	معدل العمولات وتكاليف الإنتاج لـجمالي السوق
0.0702	-11.80265	0.2089	-4.051174	معدل المصاروفات العمومية والإدارية لـجمالي السوق

*** دالة عند مستوى معنوية أقل من ٠.٠٠١

يتضح من الجدول رقم (١٨) أن القيمة المحسوبة لإحصاء *tau-statistic* ، دالة عند مستوى معنوية أقل من (٠.٠٥) ، لمتغير معدل الخسائر ، ومن ثم رفض

فرض العدم القائل بعدم وجود علاقات توازنية في الأجل الطويل بين معدل الخسائر وهاشم ربح الافتتاب ، أما باقي المتغيرات الأخرى فنقبل فرض العدم.

٤- التنبؤ بهامش ربح الافتتاب لإجمالي السوق :

جدول رقم (١٩)

المقارنة بين نموذج الشبكات العصبية الإصطناعية ANN_S والخوارزميات الجينية الوراثية
للتنبؤ بهامش ربح الافتتاب لإجمالي السوق

الخوارزميات الجينية الوراثية GA	نموذج الشبكات العصبية الإصطناعية ANN_S	المعايير الإحصائية
% 99.7	% 84.7	١- معامل التحديد R^2
***2489.1	***44.3	٢- اختبار F-Test
0.017	0.143	٣- معامل متابينة ثايل U
4.02	7.91	Akaike info criterion-4
4.08	7.97	Schwarz criterion-5
3.96	7.84	Hannan-Quinn criterion-6
1.0003	7.85	٧- متوسط الخطأ المطلق MAE
4.25	44.89	٨- متوسط الخطأ المطلق النسبي MAPE
1.27	10.33	٩- الجذر التربيعي لمتوسط مربعات الخطأ RMSE
0.25 (sig>0.05) غير دال	4.47 (sig>0.05) غير دال	١٠- اختبار إعتدالية البوافي Jarque-Bera
F-statistic=0.28 Sig=0.77	F-statistic=0.138 Sig=0.87	١١- اختبار الإرتباط التسلسلي بين البوافي Breusch-Godfrey Serial Correlation LM Test
F-statistic=0.297 Sig=0.60	F-statistic=1.153 Sig=0.314	١٢- اختبار ثبات تباين الأخطاء Heteroskedasticity Test: Breusch-Pagan-Godfrey
Likelihood ratio=0.029 Sig=0.96	Likelihood ratio=0.148 Sig=0.70	١٣- اختبار جودة توصيف النموذج: Ramsey RESET Test
X1=90.5% , x2=8.7%, x3=0.8	X1=83.5% ,x2=9.7%,x3=6.8	٤- الأهمية النسبية

يتضح من الجدول رقم (١٩) ما يلى:

- فيما يتعلّق بالقدرة التفسيرية للنموذج من خلال معامل التحديد، نجد أن المتغيرات الخارجية تعمل على تفسير التغيير في هامش ربح الاكتتاب لجمالي السوق ، بنسبة (٨٤.٧٪) بنموذج الشبكات العصبية الإصطناعية ANNS ، مقابل (٩٩.٧٪) لنموذج الخوارزميات الجينية الوراثية.

فيما يتعلّق بالقدرة التنبؤية للنموذج من خلال متابينة ثايل U ، نجد أن دقة التقديرات بمؤشر هامش ربح الاكتتاب بنموذج الشبكات العصبية الإصطناعية ANNs قد بلغ (٨٥.٧٪) ، مقابل (٩٨.٣٪) لنموذج الخوارزميات الجينية الوراثية.

فيما يتعلّق بجودة توفيق النموذج من خلال اختبار F-Test ، نجد أنها دالة عند مستوى معنوية أقل من (٠.٠٠١) بنموذج الشبكات العصبية الإصطناعية ANNs ، مقابل (٠.٠٠١) لنموذج الخوارزميات الجينية الوراثية ، وإن كانت ذات قيمة محسوبة أكبر بنموذج الخوارزميات الجينية الوراثية ، مقارنة بقيمتها في نموذج الشبكات العصبية الإصطناعية.

فيما يتعلّق بمعايير أخطاء النموذج لكل من: MAE ، RMSE ، MAPE ، نجد أنها قد بلغت بنموذج الشبكات العصبية الإصطناعية ANNs (7.85) ، (10.33)، (44.89٪) على الترتيب ، مقابل (١.٠٠٣)، (١.٢٧)، (٤.٢٥٪) على الترتيب ، بنموذج الخوارزميات الجينية الوراثية.

فيما يتعلّق بمؤشرات المقارنة بين النماذج الإحصائية لكل من: AIC ، SC ، HQC ، نجد أنها قد بلغت بنموذج الشبكات العصبية الإصطناعية ANNs (7.91)، (7.97)، (7.84)، (4.02)، (4.08٪) على الترتيب ، مقابل (١.٢٧) على الترتيب ، بنموذج الخوارزميات الجينية الوراثية.

- فيما يتعلق بإعتدالية توزيع أخطاء النموذج باستخدام اختبار Jarque-Bera ، نجد أن القيمة المحسوبة بنموذجي الشبكات العصبية الإصطناعية ANNs والخوارزميات الجينية الوراثية ، غير دالة عند مستوى معنوية أكبر من (٠٠٥).
- فيما يتعلق بإختبار الإرتباط التسلسلي بين الباقي Breusch-Godfrey Serial Correlation LM Test ، نجد أن القيمة المحسوبة لكلاً منها ، بنموذجي الشبكات العصبية الإصطناعية ANNs ، والخوارزميات الجينية الوراثية ، غير دالة عند مستوى معنوية أكبر من (٠٠٥)، مما يدل على أنه لا يوجد إرتباط تسلسلي في سلسلة الباقي لهامش ربح الافتتاب لـإجمالي السوق.
- فيما يتعلق بإختبار ثبات تباين الأخطاء Heteroskedasticity Test: Breusch-Pagan-Godfrey ، نجد أن القيمة المحسوبة لكلاً منها ، بنموذجي الشبكات العصبية الإصطناعية ANNs ، ونموذج الخوارزميات الجينية الوراثية ، غير دالة عند مستوى معنوية أكبر من (٠٠٥)، مما يدل على ثبات تباين أخطاء نموذج الإنحدار في سلسلة الباقي لهامش ربح الافتتاب لـإجمالي السوق.
- فيما يتعلق بإختبار جودة توصيف النموذج Ramsey RESET Test ، نجد أن القيمة المحسوبة لنموذجي الشبكات العصبية الإصطناعية ANNs و الخوارزميات الجينية الوراثية ، غير دالة عند مستوى معنوية أكبر من (٠٠٥)، مما يدل على كفاية وملائمة المتغيرات المستقلة بالنماذج ، ودقة توصيف النموذج لهامش ربح الافتتاب لـإجمالي السوق.
- انقى كلا النموذجين في الأهمية النسبية لمتغير معدل الخسارة على مستوى السوق كل بنسبة لا تقل عن (٨٣.٥٪) بنموذج الشبكات العصبية الإصطناعية ANNs ، مقابل (٩٠.٥٪) لنموذج الخوارزميات الجينية الوراثية.

٥/٧/٦ التنبؤ بالقيم الفعلية والقيم المتوقعة لها مش ربح الاكتتاب وفق نموذجي
الشبكات العصبية الإصطناعية والخوارزميات الجينية الوراثية على مستوى
إجمالي سوق التأمين المصري:

جدول رقم (٣٠)

القيم الفعلية والمتوترة وفق نموذجي الشبكات العصبية الإصطناعية ANNs والخوارزميات
الجينية الوراثية في التنبؤ بها مش ربح الاكتتاب على مستوى إجمالي سوق التأمين المصري:

الخوارزميات الجينية الوراثية		نموذج الشبكات العصبية الإصطناعية		السنوات
القيم المتوقعة	القيم الفعلية	القيم المتوقعة	القيم الفعلية	
10.16	9.1	-23.09	9.1	٢٠٠٨
-5.90	-5.9	-5.86	-5.9	٢٠٠٩
12.22	12.4	12.40	12.4	٢٠١٠
17.66	16.6	16.60	16.6	٢٠١١
21.18	23.2	23.20	23.2	٢٠١٢
49.41	51	48.36	51	٢٠١٣
51.16	52.4	52.40	52.4	٢٠١٤
70.60	70.6	70.60	70.6	٢٠١٥
46.85	44.4	26.06	44.4	٢٠١٦
34.83	34.8	34.80	34.8	٢٠١٧

يتضح من الجدول السابق أن القيم المتوقعة بالنسبة لإجمالي السوق وفقاً لنموذج
الخوارزميات الجينية الوراثية أدق من القيم المتوقعة بالنسبة لإجمالي السوق وفقاً
لنموذج الشبكات العصبية الإصطناعية.

٧ - النتائج والتوصيات:

١/ نتائج البحث:

- في إطار هدف ومنهج البحث توصل الباحث إلى مجموعة من النتائج أهمها:
- أن هامش ربح الابتكار يعتبر من المؤشرات الهامة بالنسبة لشركات التأمين لكونه يقيس مدى نجاح الإدارة في اتباع سياسة ابتكار جيدة، ولكونه من الموضوعات التي تحظى باهتمام من جانب تلك الشركات لما له من تأثير مباشر على حقوق كل من حملة الأسهم وحملة الوثائق.
 - أنه يمكن تقييم هامش ربح الابتكار في تأمين الممتلكات والمسؤولية باستخدام تطبيقات الذكاء الاصطناعي مثل نموذج الشبكات العصبية الاصطناعية ANNs ، ونموذج الخوارزميات الجينية الوراثية GA .
 - أن معايير جودة التوفيق لها ملخص ربح الابتكار وفق نموذج الشبكات العصبية الاصطناعية ANNs أكثر دقة وكفاءة وملائمة من نظيره نموذج الخوارزميات الجينية الوراثية ، سواء فيما يتعلق بكل من: القدرة التفسيرية ، القدرة التنبؤية للنموذج ، جودة توفيق النموذج ، معايير أخطاء النموذج ، مؤشرات المقارنة بين النماذج الإحصائية ، اختبار جودة توصيف النموذج ، ومن ثم نقبل أن نموذج الشبكات العصبية الاصطناعية ANNs أكثر ملائمة لجودة توفيق هامش ربح الابتكار مقارنة بنموذج الخوارزميات الجينية الوراثية على مستوى القطاع العام بسوق التأمين المصري.
 - أن معايير جودة التوفيق لها ملخص ربح الابتكار وفق نموذج الخوارزميات الجينية الوراثية أكثر دقة وكفاءة وملائمة من نظيره بنموذج الشبكات العصبية الاصطناعية ANNs سواء فيما يتعلق بكل من: القدرة التفسيرية ، القدرة التنبؤية للنموذج ، جودة توفيق النموذج ، معايير أخطاء النموذج ، مؤشرات المقارنة بين النماذج الإحصائية ، إعتدالية توزيع أخطاء النموذج ، اختبار الإرتباط التسلسلي بين الباقي ، اختبار ثبات تباين الأخطاء ، اختبار جودة توصيف النموذج ، ومن ثم نقبل أن نموذج الخوارزميات الجينية الوراثية أكثر ملائمة لجودة توفيق هامش

ربح الافتتاح مقارنة بنموذج الشبكات العصبية الاصطناعية ANNs على مستوى القطاع الخاص بسوق التأمين المصري.

- أن معايير جودة التوفيق لها معايير جودة الافتتاح وفق نموذج الخوارزميات الجينية الوراثية أكثر دقة وكفاءة وملائمة ، من نظيره بنموذج الشبكات العصبية الاصطناعية ANNs ، سواء فيما يتعلق بكل من: القدرة التفسيرية ، القدرة التنبؤية للنموذج ، جودة توفيق النموذج ، معايير أخطاء النموذج ، مؤشرات المقارنة بين النماذج الإحصائية ، اعتدالية توزيع أخطاء النموذج ، اختبار الإرتباط التسلسلي بين البوافي ، اختبار ثبات تباين الأخطاء ، اختبار جودة توصيف النموذج ، ومن ثم نقبل أن نموذج الخوارزميات الجينية الوراثية أكثر ملائمة لجودة توفيق هامش ربح الافتتاح مقارنة بنموذج الشبكات العصبية الاصطناعية ANNs على مستوى إجمالي سوق التأمين المصري.

٢/ التوصيات :

في ضوء الدراسة التطبيقية ونتائج البحث توصل الباحث لمجموعة من التوصيات هي:

- ضرورة اهتمام شركات التأمين بمؤشرات هامش ربح الافتتاح لضمان نجاح الإدارة في اتباع سياسة افتتاح جيدة.
- ضرورة استخدام تطبيقات الذكاء الاصطناعي المختلفة ومنها الشبكات العصبية الاصطناعية والخوارزميات الجينية الوراثية في تقييم هامش ربح الافتتاح في تأمين أجسام السفن.
- ضرورة تطوير نماذج لنظم الذكاء الاصطناعي مع نماذج متقدمة أخرى واستخدامها في شركات التأمين.
- توجيه المزيد من الأبحاث والدراسات في مجال تقييم هامش ربح الافتتاح باستخدام تطبيقات أخرى للذكاء الاصطناعي ، وأيضاً أبحاث تستخدم تلك التطبيقات في مجالات أخرى من مجالات التأمين.

٨. قائمة المراجع:-
١/٨ المراجع العربية:-

- ١- أبو بكر ، عيد أحمد وآخرون ، استخدام الشبكات العصبية الإصطناعية في تقييم الملاعة المالية لشركات التأمين المصرية،" مجلة الدراسات المالية والتجارية, كلية التجارة, جامعة بنى سويف ,٢٠١٤ ، ع ٢.
- ٢- أبو بكر ، عيد أحمد، " استخدام الأساليب الكمية في قياس وإدارة الأخطار المؤثرة في الملاعة المالية لشركات التأمين المصرية بالتطبيق على التأمينات العامة" رسالة دكتوراه غير منشورة, كلية التجارة , جامعة القاهرة، فرع بنى سويف, ٢٠٠٣ .
- ٣- الدالي، أمل أحمد حسن شحاته، " تقييم هامش ربح الافتتاب باستخدام نموذج الشبكات العصبية : بالتطبيق على تأمينات الممتلكات والمسؤولية بسوق التأمين السعودي" مجلة البحوث التجارية المعاصرة, كلية التجارة وسوهاج, ٢٠١٥ .
- ٤- عبد الحميد، عادل منير، " محددات أداء شركات التأمين الكويتية (دراسة تحليلية) " المجلة العربية للعلوم الغدارية،جامعة الكويت،المجلد الخامس،العدد الثاني ،مايو، ١٩٩٨ .
- ٥- حموده، إبراهيم أحمد عبدالنبي، " قياس خطر الإفتتاب في بعض فروع التأمينات العامة في مصر في الفترة من ١٩٩٢ - ٢٠٠١ " مجلة كلية التجارة للبحوث العلمية, كلية التجارة ، جامعة الإسكندرية، ٢٠٠٢ .
- ٦- النجار، فايز جمعة، " نظم المعلومات الإدارية - منظور إداري" ، دار الحامد للنشر والتوزيع، عمان،الأردن، ٢٠١٠ .
- ٧- المركز الديمقراطي العربي للدراسات الإستراتيجية والسياسية والإقتصادية، "تطبيقات الذكاء الإصطناعي كتجهيز حديث لتعزيز تنافسية منظمات الأعمال" ، برلين، المانيا ٢٠١٧ .
- ٨- العباسى، عبدالحميد محمد، " مقدمة في الشبكات العصبية الإصطناعية" معهد الدراسات الإحصائية ، جامعة القاهرة، ٢٠١٣ .
- ٩- خوالد، أبو بكر، وآخرون، "أنظمة المعلومات المعتمدة على الذكاء الإصطناعي بين المفاهيم النظرية والتطبيقات العملية في المؤسسة الإقتصادية" ، الملتقى الوطني العاشر حول أنظمة المعلومات المعتمدة على الذكاء الإصطناعي ودورها في صنع قرارات المؤسسة الإقتصادية ، جامعة سكيدة ، الجزائر، ٢٠١٢ .
- ١٠- عبد الصادق، أسامة سعيد، "تطوير نموذج محاسبي يعتمد على الشبكات العصبية الإصطناعية لترشيد المكافحة الدولية لعمليات غسل الأموال بالتطبيق على القطاع

- المصرفي", مجلة المحاسبة والإدارة والتأمين, كلية التجارة , جامعة القاهرة, مجلد ٤٦, عدد ٦٨٠٧, القاهرة ,٢٠٠٧.
- ١١- عثمان, شريف محمد محسن , تسعير تأمين أجسام السفن في مصر" دراسة تطبيقية على الفنادق و المطاعم العالمية" رسالة دكتوراه, بحث غير منشور, كلية التجارة, جامعة المنوفية, ٢٠١٧ م
- ١٢- صالح, فاتن عبدالله , "أثر تطبيق الذكاء الاصطناعي والذكاء العاطفي على جودة اتخاذ القرارات" , رسالة ماجستير في إدارة الأعمال, كلية إدارة الأعمال, جامعة الشرق الأوسط, عمان, الأردن.
- ١٣- مشعل , محمود عبدالعال محمد, " التنبؤ بأقساط التأمين التعاوني باستخدام السلسل الزمنية المركبة(دراسة تطبيقية على السوق السعودي)" مجلة جامعة الطائف للعلوم الإنسانية, جامعة الطائف, ٢٠١٥ .
- ١٤- سليمان, أسامة ربيع أمين, " تطوير نموذج مالي توازنی لتحديد هامش ربح اكتتاب شركات تأمينات الممتلكات والمسؤولية في سوق التأمين في حالة وجود ضرائب" المجلة العلمية للبحوث التجارية, كلية التجارة, جامعة المنوفية, ٢٠١٨ .
- ١٥- نوار, عبدالله رمضان عبدالله, "التنبؤ بصفاتي أقساط تأمينات السيارات التكميلي باستخدام الشبكات العصبية الاصطناعية: دراسة تطبيقية على شركة قناة السويس للتأمين" المجلة العلمية للاقتصاد والتجارة, كلية التجارة, جامعة عين شمس, ٢٠١٥ .
- ١٦- درويش, مروه سعيد عبدالله, "ترشيد قرارات الاكتتاب في تأمينات الممتلكات والمسؤوليات في السوق المصري باستخدام الشبكات العصبية الفازية: بالتطبيق على فرع تأمينات السيارات التكميلي, رسالة دكتوراه, بحث غير منشور, كلية التجارة, جامعة القاهرة, ٢٠١٣ .
- ١٧- غنيمي, محمد اديب, "الذكاء الاصطناعي" مستقبل التربية والتعليم, المركز العربي للتعليم والتنمية, ١٩٩٥ .
- ١٨- موسى, عادل أحمد, "سياسة الإكتتاب في شركات التأمين بين الإطار العلمي والواقع العملي" مجلة الشرق للتأمين, العدد السادس والأربعون, ٢٠٠٥ .
- ١٩- البلافيدي, محمد توفيق اسماعيل وأخرون, " التنبؤ بالأزمات المالية لشركات التأمين باستخدام الشبكات العصبية والإندثار الوجستي" مجلة الدراسات والبحوث التجارية, كلية التجارة , جامعة بنها, ٢٠١٧ .

- ٢٠- شاكر، محمد عبد السلام خليل، "دراسة مقارنة لهامش ربحية الافتتاح في القطاعين العام والخاص كمدخل لشخصية شركات التأمين في مصر"، رسالة ماجستير ، بحث غير منشور، كلية التجارة، جامعة الزقازيق، ٢٠١١.
- ٢١- إسماعيل، عماد عبد الجليل علي، " ترشيد قرارات الافتتاح في أخطار السيارات باستخدام الإنحدار اللوجستي متعدد الحدود" مجلة المحاسبة والإدارة والتأمين، كلية التجارة، جامعة القاهرة، ٢٠٠٨.

٢/٨ المراجع الأجنبية :

- 1- Alter,S , "Information Systems : The Foundation of E-business" New York,Prentice-Hall, USA, 2002.
- 2- Barr, A, Feigenbaum E A , "The Handbook of Artificial Intelligence, Kaufmann", William,inc, New York,USA,1980.
- 3- Waston, Hugh J, Household, George, and Rainer, Jr,Rex Kelly, "Building Executive information systems , and other – Decision support Applications , 2006.
- 4- Rose, Frank, "Artificial Neural Networks-An American Quest for Artificial intelligence", harper&Row, 2011.
- 5- D'Arcy,Stephen p, and JamesGarven,"Property- Liability insurance pricing Model An Empirical Evaluation ", Jornal of risk and insurance ,1990 .
- 6- Abhishek S., Mishra G., C , "Application of Box-Jenkins method and artificial neural network procedure for time series forecasting of prices",Statistics in transition , new series, Spring, 2015.
- 7- Joseph and Report Flynn, " Insights from research premium growth underwriting return and segment analysis" Journal of business excellence,2005.
- 8- Rejda George E, "Principles of risk management and insurance" New York, Addison- Wesley Longman, 1994.
- 9- Dorinalazer, and Michel Denuit,"new evidence for underwriting cycles in us property liability insurance" Journal of risk finance,2012.

- 10- Ansari A,Riasi A , "Modelling and evaluating customer loyalty using neural networks , Evidence from start-up insurance companies" Future Business Jornal, 2016.
- 11- O'Shea,Jim, et al, Marine Insurance Underwriting And Claims, The Chartered Insurance Institute, London, Study Course, 1998.
- 12- Alzaidi A,A,"Impact of Artificial Intelligence on performance of banking industry in Middle East " International Jorurnal of computer Science and Netwrk security, 2018.
- 13- Bonnet, Alain, " Artificial intellelligence " prentice Hall, 2008.

ملاحق الدراسة

ملاحق القطاع العام :

	Y	X1	X2	X3
Mean	31.23000	52.18000	11.82000	9.015000
Median	37.75000	39.95000	11.65000	9.200000
Std. Dev.	28.48883	20.73948	2.002110	0.728793
Skewness	0.161952	0.973859	0.145580	-0.818833
Kurtosis	2.822829	2.791049	2.809980	2.715674
Jarque-Bera	0.056793	1.598861	0.050367	1.151162
Probability	0.972003	0.449585	0.975131	0.562378
Observations	10	10	10	10

Group unit root test: Summary ist diff+non intercept
 Series: Y, X1, X2, X3
 Date: 02/11/18 Time: 21:33
 Sample: 2008- 2017
 Exogenous variables: None
 Automatic selection of maximum lags
 Automatic lag length selection based on SIC: 0 to 1
 Newey-West automatic bandwidth selection and Bartlett kernel

Method	Statistic	Prob.**	Cross-sections	Obs
Null: Unit root (assumes common unit root process)				
Levin, Lin & Chu t*	-5.38180	0.0000	4	31
Null: Unit root (assumes individual unit root process)				
ADF - Fisher Chi-square	36.9993	0.0000	4	31
PP - Fisher Chi-square	46.8643	0.0000	4	32

** Probabilities for Fisher tests are computed using an asymptotic Chi-square distribution. All other tests assume asymptotic normality.

استخدام الشبكات العصبية الاصطناعية والخوارزميات الجينية الوراثية في تقديرها من نوع الافتراض ...
 / محمد محمود هاشم

Date: 02/11/18 Time: 21:34
 Series: Y X1 X2 X3
 Sample: 2008- 2017
 Included observations: 10
 Null hypothesis: Series are not cointegrated
 Cointegrating equation deterministics: C
 Long-run variance estimate (Parzen kernel, Newey-West automatic bandwidth, NW
 automatic lag length)
 No d.f. adjustment for variances

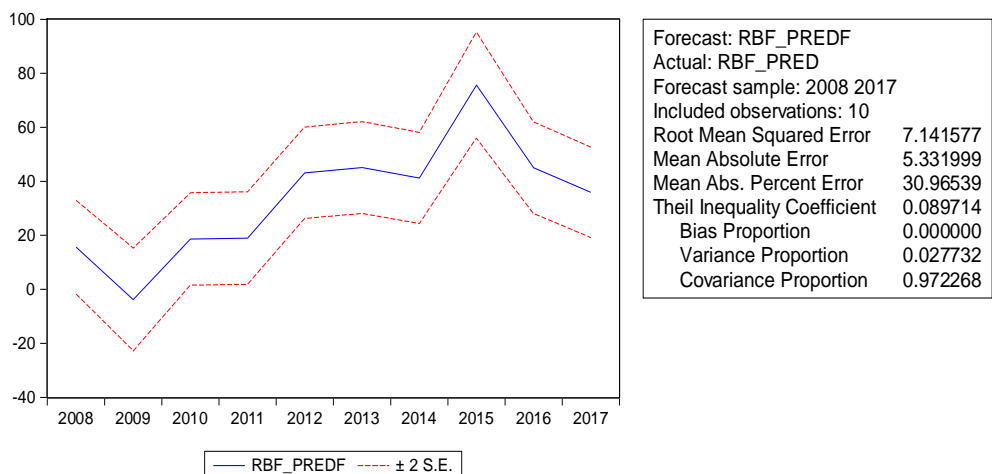
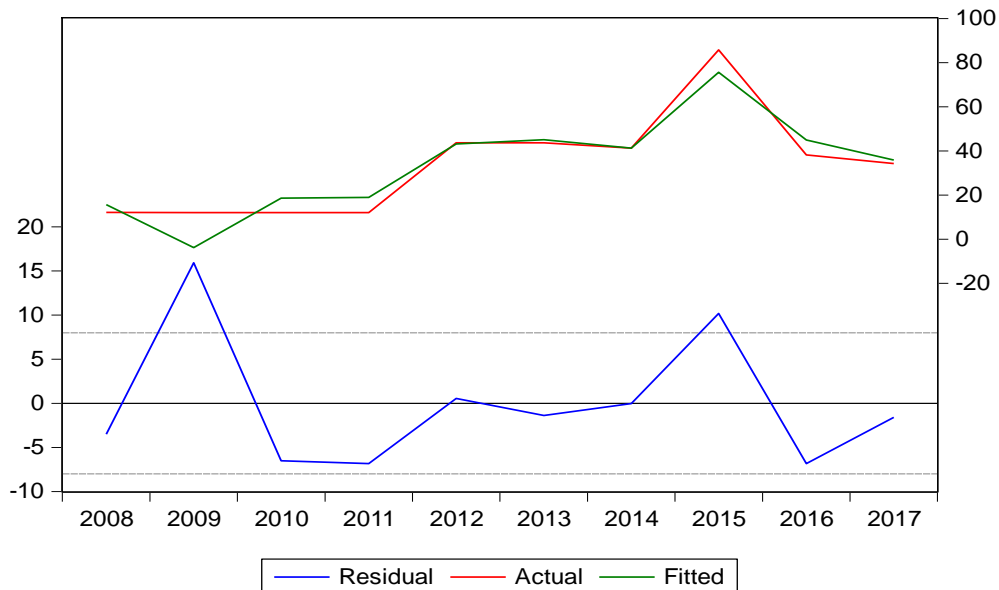
Dependent	tau-statistic	Prob.*	z-statistic	Prob.*
Y	-11.65394	0.0002	-7.035048	0.7949
X1	-3.498666	0.3453	-5.722431	0.9044
X2	-6.109547	0.0278	-15.02363	0.0000
X3	-4.131541	0.1944	-11.40726	0.0384

*MacKinnon (1996) p-values.

Variable	Coefficient	Std. Error	t-Statistic	Prob.
Y	0.771376	0.093423	8.256817	0.0000
C	9.438175	3.858450	2.446106	0.0402
R-squared 0.894979		Mean dependent var 33.52823		
Adjusted R-squared 0.881851		S.D. dependent var 23.22919		
S.E. of regression 7.984525		Akaike info criterion 7.169744		
Sum squared resid 510.0212		Schwarz criterion 7.230261		
Log likelihood -33.84872		Hannan-Quinn criter. 7.103357		
F-statistic 68.17502		Durbin-Watson stat 2.670328		
Prob(F-statistic) 0.000035				

$$\text{RBF_PRED} = 0.771375587384 * \text{Y} + 9.43817497955$$

استخدام الشبكات العصبية الإصطناعية والخوارزميات الجينية الوراثية في تقديرها مش دفع الإكتتابي ...
د/ محمد محمود هاشم

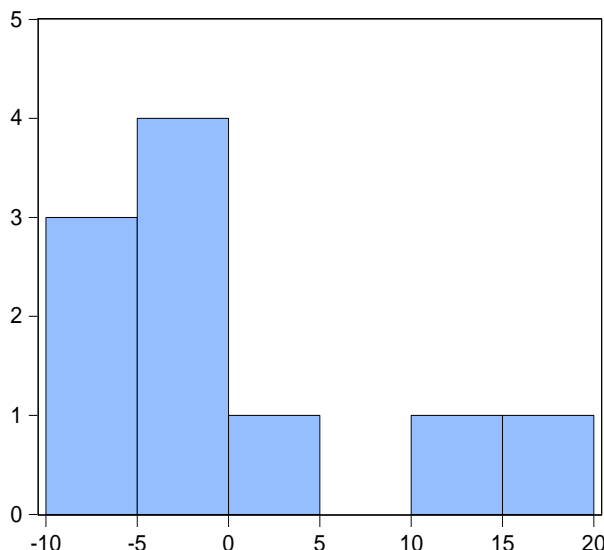


Date: 02/11/18 Time: 21:40

Sample: 2008- 2017

Included observations: 10

Autocorrelation	Partial Correlation	AC	PAC	Q-Stat	Prob
. * .	. * . 1	-0.127	-0.127	0.2149	0.643
. .	. . 2	-0.040	-0.057	0.2393	0.887
. * .	. * . 3	-0.170	-0.187	0.7373	0.864
. * .	. * . 4	-0.094	-0.154	0.9125	0.923
. * .	. * . 5	-0.116	-0.190	1.2335	0.942
. ** .	. * . 6	0.233	0.142	2.8566	0.827
. .	. . 7	-0.045	-0.060	2.9386	0.891
. * .	. ** . 8	-0.174	-0.260	4.7598	0.783
. .	. . 9	0.034	-0.013	4.8978	0.843



Series: Residuals	
Sample 2008 2017	
Observations 10	
Mean	9.46e-15
Median	-1.486042
Maximum	15.92949
Minimum	-6.829611
Std. Dev.	7.527883
Skewness	1.134890
Kurtosis	3.130436
Jarque-Bera	2.153716
Probability	0.340664

Breusch-Godfrey Serial Correlation LM Test:

F-statistic 1.259472	Prob. F(2,6) 0.3494
Obs*R-squared 2.956873	Prob. Chi-Square(2) 0.2280

Heteroskedasticity Test: Breusch-Pagan-Godfrey

F-statistic 1.453768	Prob. F(1,8) 0.2624
Obs*R-squared 1.537766	Prob. Chi-Square(1) 0.2150
Scaled explained SS 1.048356	Prob. Chi-Square(1) 0.3059

Ramsey RESET Test

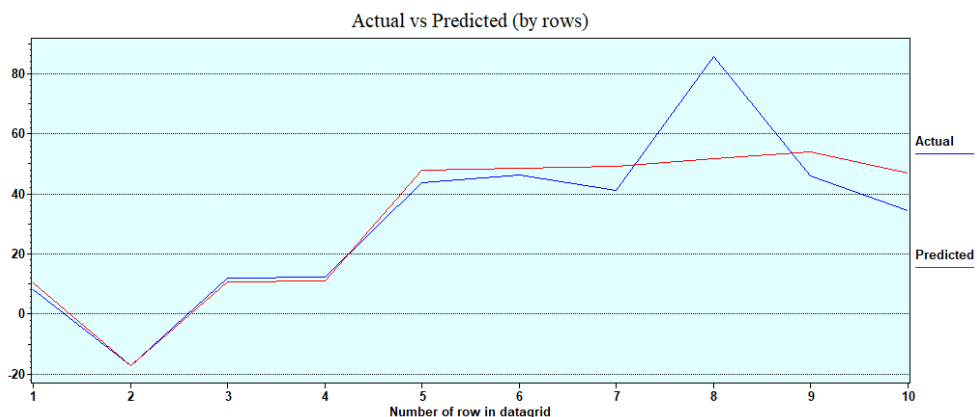
Equation: EQ01

Specification: RBF_PRED Y C

Omitted Variables: Squares of fitted values

	Value	df	Probability
t-statistic	4.197860	7	0.0040
F-statistic	17.62203	(1, 7)	0.0040
Likelihood ratio	12.57731	1	0.0004

ga



0.451 X2

0.280 X3

0.270 X1

Predictions Actuals Row#

10.38551 8 1

-17.2 -17.2 2

10.82162 11.9 3

11.15352 12.3 4

47.84915 43.7 5

48.57529 46.2 6

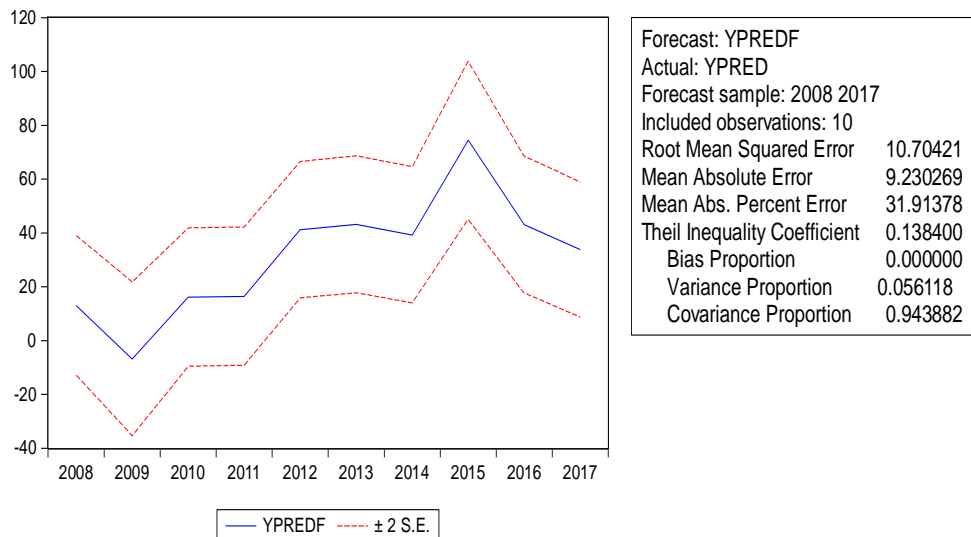
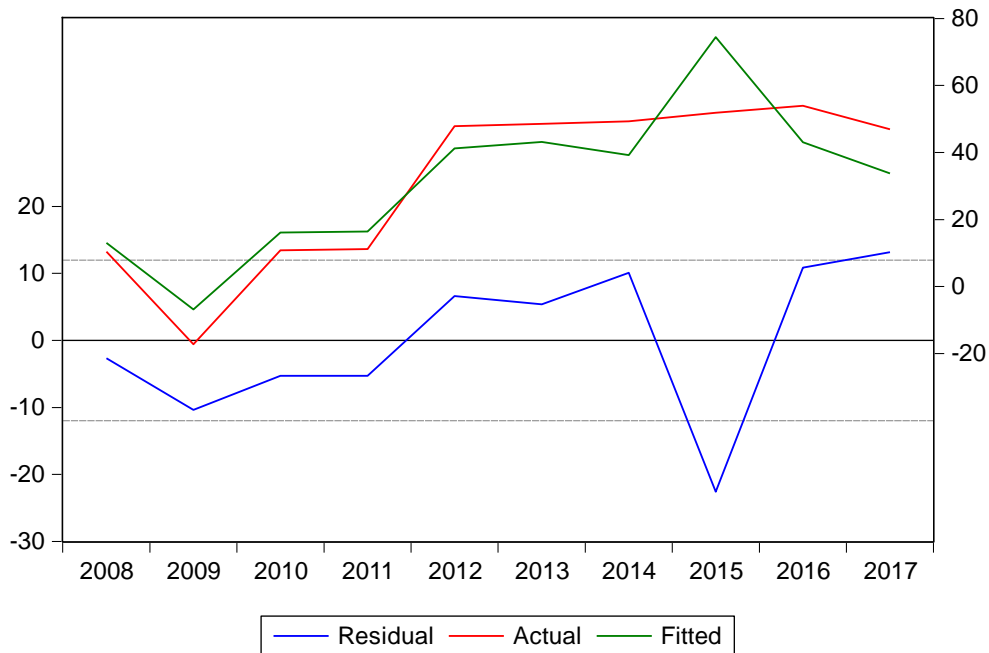
49.31893 41.2 7

51.85693	85.8	8
53.96951	46.1	9
46.95304	34.3	10

Dependent Variable: YPRED
 Method: Least Squares
 Date: 02/12/18 Time: 00:16
 Sample: 2008- 2017
 Included observations: 10

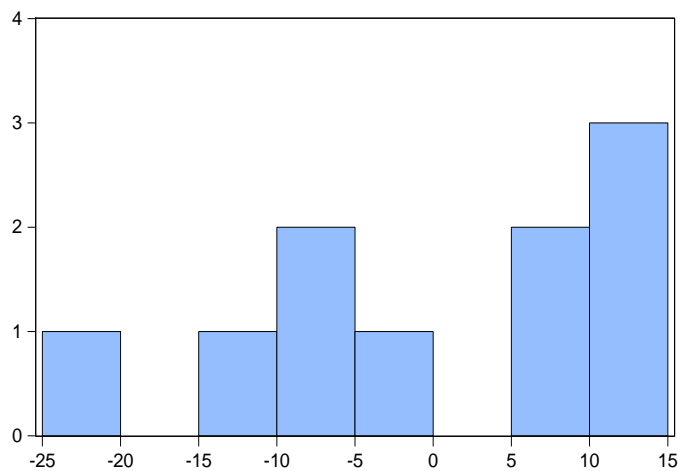
Variable	Coefficient	Std. Error	t-Statistic	Prob.
Y	0.789030	0.140028	5.634820	0.0005
C	6.726934	5.783267	1.163172	0.2783
R-squared 0.798748		Mean dependent var 31.36835		
Adjusted R-squared 0.773592		S.D. dependent var 25.15147		
S.E. of regression 11.96767		Akaike info criterion 7.979151		
Sum squared resid 1145.800		Schwarz criterion 8.039668		
Log likelihood -37.89575		Hannan-Quinn criter. 7.912764		
F-statistic 31.75120		Durbin-Watson stat 2.129570		
Prob(F-statistic) 0.000490				

$$\text{YPRED} = 0.789030299865 * \text{Y} + 6.72693373522$$



Date: 02/12/18 Time: 00:17
 Sample: 2008- 2017
 Included observations: 10

Autocorrelation	Partial Correlation	AC	PAC	Q-Stat	Prob
. * .	. * . 1	0.094	0.094	0.1182	0.731
. .	. . 2	0.069	0.061	0.1902	0.909
. .	. * . 3	-0.053	-0.066	0.2384	0.971
. * .	. * . 4	-0.152	-0.148	0.7012	0.951
. * .	. * . 5	-0.148	-0.118	1.2256	0.942
. .	. . 6	-0.035	0.004	1.2619	0.974
. ** .	. ** . 7	-0.240	-0.246	3.5610	0.829
. .	. . 8	-0.004	-0.005	3.5620	0.894
. .	. . 9	-0.032	-0.048	3.6834	0.931



Series: Residuals	
Sample 2008-2017	
Observations 10	
Mean	9.59e-15
Median	1.370745
Maximum	13.16237
Minimum	-22.56880
Std. Dev.	11.28322
Skewness	-0.642537
Kurtosis	2.510936
Jarque-Bera	0.787750
Probability	0.674438

Breusch-Godfrey Serial Correlation LM Test:

F-statistic 0.630732	Prob. F(2,6) 0.5641
Obs*R-squared 1.737204	Prob. Chi-Square(2) 0.4195

Heteroskedasticity Test: ARCH

F-statistic 0.073628	Prob. F(1,7) 0.7940
Obs*R-squared 0.093679	Prob. Chi-Square(1) 0.7596

Ramsey RESET Test

Equation: UNTITLED

Specification: YPRED Y C

Omitted Variables: Squares of fitted values

	Value	df	Probability
t-statistic	4.636774	7	0.0024
F-statistic	21.49967	(1, 7)	0.0024
Likelihood ratio	14.03982	1	0.0002

ملاحق القطاع الخاص :

	Y	X1	X2	X3
Mean	52.14000	23.55000	11.69000	11.75500
Median	55.35000	19.95000	11.65000	10.65000
Maximum	95.30000	62.60000	13.40000	16.10000
Minimum	16.00000	-17.90000	10.10000	9.000000
Std. Dev.	23.28792	24.24735	0.942161	2.631693
Skewness	0.076057	0.061998	0.081320	0.577558
Kurtosis	2.605548	2.287218	2.601577	1.757096
Jarque-Bera	0.074471	0.218097	0.077164	1.199626
Probability	0.963449	0.896687	0.962153	0.548914
Observations	10	10	10	10

Group unit root test: Summary IST DIFF+NONE INTERCEPT

Series: Y, X1, X2, X3

Date: 02/10/18 Time: 23:04

Sample: 2008 -2017

Exogenous variables: None

Automatic selection of maximum lags

Automatic lag length selection based on SIC: 0 to 1

Newey-West automatic bandwidth selection and Bartlett kernel

Method	Statistic	Prob.**	Cross-sections	Obs
Null: Unit root (assumes common unit root process)				
Levin, Lin & Chu t*	-5.66451	0.0000	4	31
Null: Unit root (assumes individual unit root process)				
ADF - Fisher Chi-square	42.2136	0.0000	4	31
PP - Fisher Chi-square	43.3969	0.0000	4	32

** Probabilities for Fisher tests are computed using an asymptotic Chi-square distribution. All other tests assume asymptotic normality.

استخدام الشبكات العصبية الاصطناعية والخوارزميات الجينية الوراثية في تقديرها من نوع الافتراض ...
 / محمد محمود هاشم

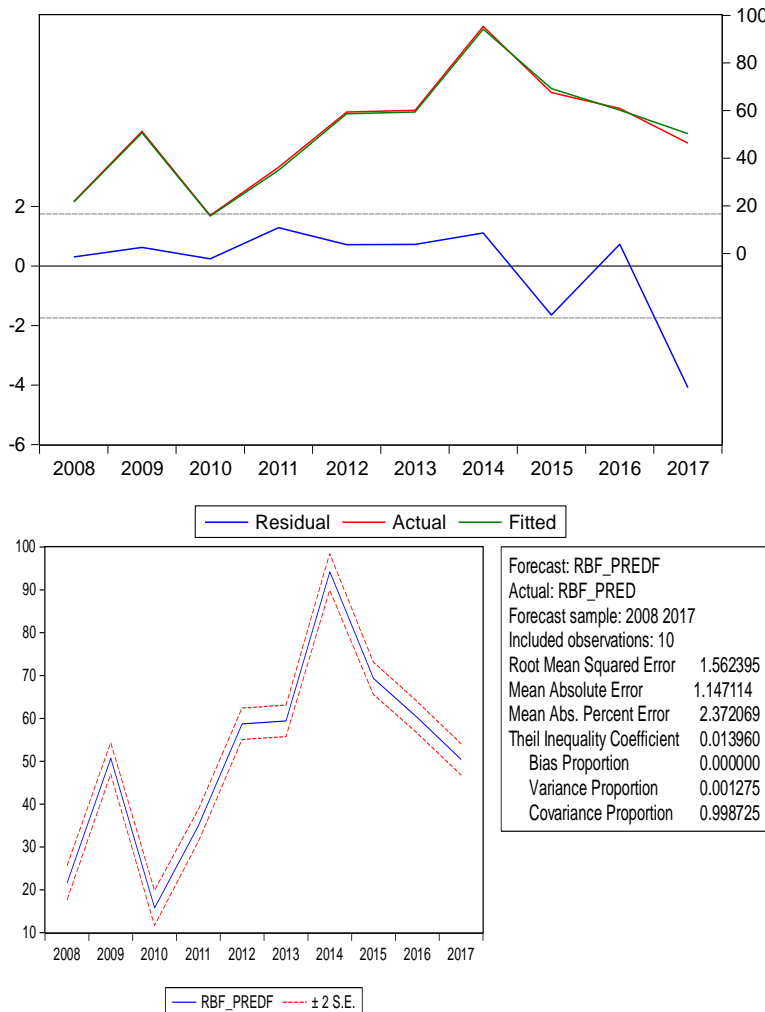
Date: 02/10/18 Time: 23:06
 Series: Y X1 X2 X3
 Sample: 2008- 2017
 Included observations: 10
 Null hypothesis: Series are not cointegrated
 Cointegrating equation deterministics: C
 Long-run variance estimate (Bartlett kernel, Newey-West automatic bandwidth, NW
 automatic lag length)
 No d.f. adjustment for variances

Dependent	tau-statistic	Prob.*	z-statistic	Prob.*
Y	-7.189849	0.0100	-10.63817	0.2975
X1	-6.560358	0.0180	-12.12502	0.0778
X2	-4.213758	0.1791	-6.261261	0.8608
X3	-5.352759	0.0578	-17.99151	0.0000

*MacKinnon (1996) p-values.

Variable	Coefficient	Std. Error	t-Statistic	Prob.
Y	0.989120	0.025003	39.55991	0.0000
C	-0.068476	1.415863	-0.048364	0.9626
R-squared 0.994914		Mean dependent var 51.50427		
Adjusted R-squared 0.994278		S.D. dependent var 23.09336		
S.E. of regression 1.746810		Akaike info criterion 4.130317		
Sum squared resid 24.41077		Schwarz criterion 4.190834		
Log likelihood -18.65158		Hannan-Quinn criter. 4.063930		
F-statistic 1564.987		Durbin-Watson stat 1.567846		
Prob(F-statistic) 0.000000				

$$\text{RBF_PRED} = 0.989120488296 * \text{Y} - 0.0684764024095$$

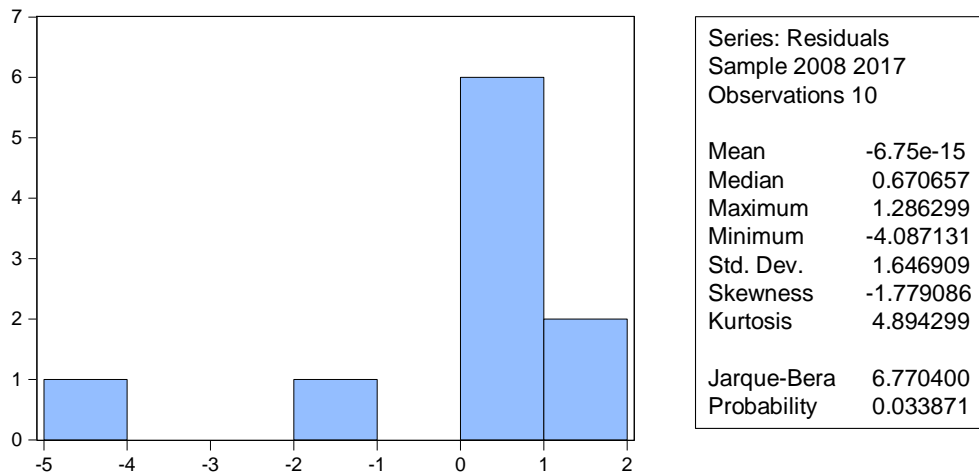


Date: 02/11/18 Time: 22:42

Sample: 2008- 2017

Included observations: 10

Autocorrelation	Partial Correlation	AC	PAC	Q-Stat	Prob
. .	. . 1	-0.039	-0.039	0.0198	0.888
. * .	. * . 2	0.092	0.091	0.1473	0.929
. .	. . 3	-0.013	-0.006	0.1501	0.985
. .	. . 4	-0.054	-0.064	0.2085	0.995
. * .	. * . 5	-0.085	-0.088	0.3813	0.996
. .	. . 6	-0.019	-0.015	0.3920	0.999
. * .	. * . 7	-0.132	-0.121	1.0931	0.993
. * .	. * . 8	-0.107	-0.123	1.7752	0.987
. * .	. * . 9	-0.144	-0.151	4.2726	0.893



Breusch-Godfrey Serial Correlation LM Test:

F-statistic 4.662735	Prob. F(2,6) 0.0600
Obs*R-squared 6.084949	Prob. Chi-Square(2) 0.0477

Heteroskedasticity Test: Breusch-Pagan-Godfrey

F-statistic 0.027272	Prob. F(1,8) 0.8729
Obs*R-squared 0.033974	Prob. Chi-Square(1) 0.8538
Scaled explained SS 0.042337	Prob. Chi-Square(1) 0.8370

Ramsey RESET Test

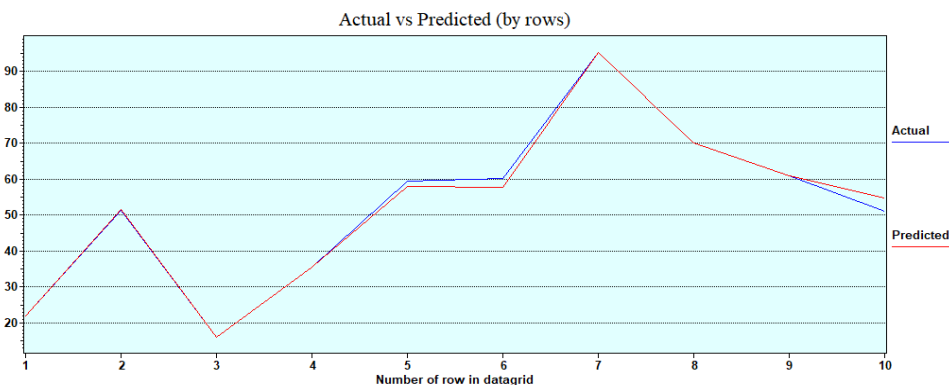
Equation: UNTITLED

Specification: RBF_PRED Y C

Omitted Variables: Squares of fitted values

	Value	df	Probability
t-statistic	0.746626	7	0.4796
F-statistic	0.557451	(1, 7)	0.4796
Likelihood ratio	0.766238	1	0.3814

GA



0.765 X1

0.235 X2

0.000 X3

Predictions Actuals Row#

21.89998 21.9 1

51.43695 51.3 2

16.00002 16 3

35.4 35.4 4

58.00455 59.4 5

57.71758 60.1 6

95.3	95.3	7
70.09869	70.1	8
60.90046	60.9	9
54.81577	51	10

Dependent Variable: YPRED

Method: Least Squares

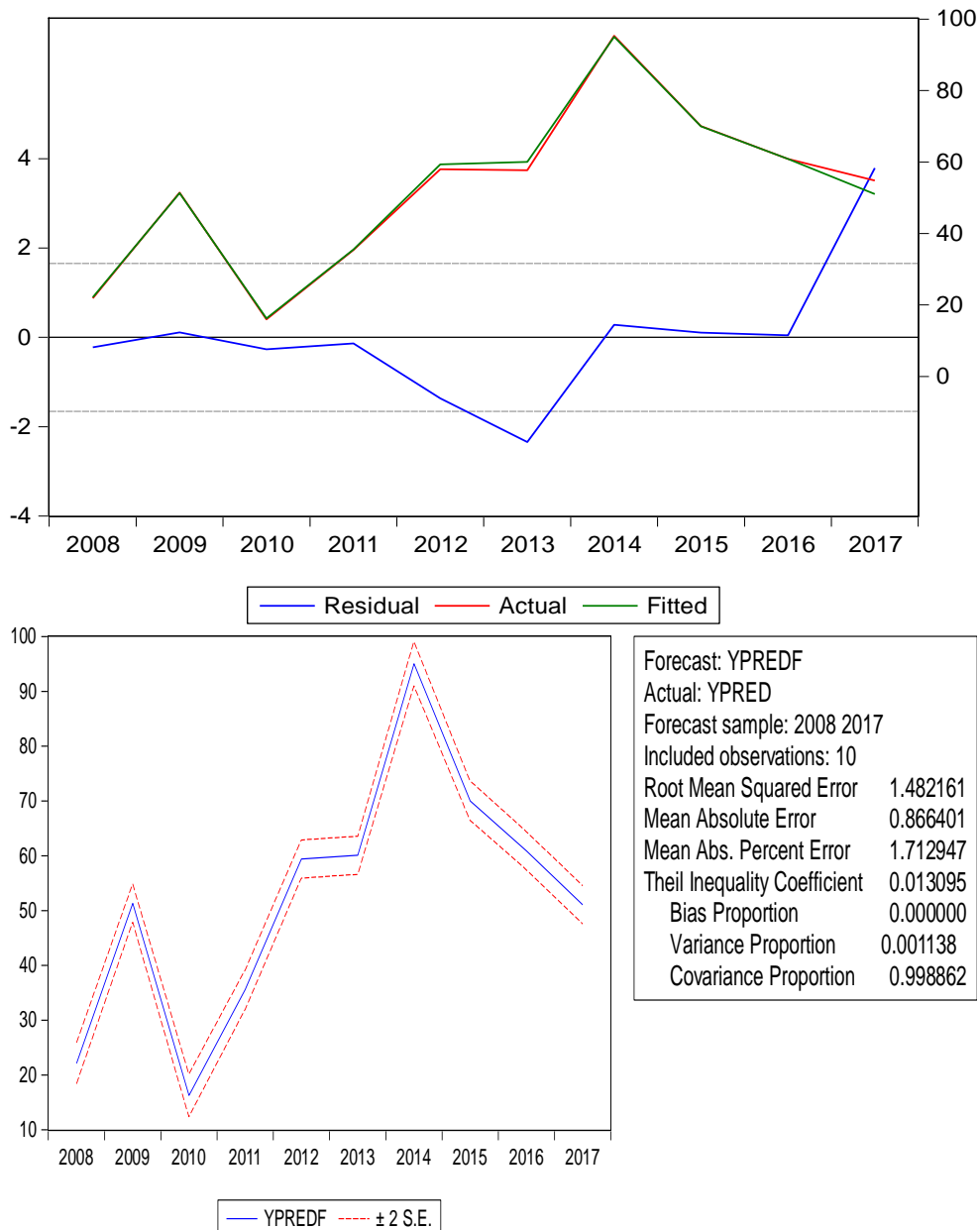
Date: 02/11/18 Time: 23:09

Sample: 2008 -2017

Included observations: 10

Variable	Coefficient	Std. Error	t-Statistic	Prob.
Y	0.993120	0.023719	41.87003	0.0000
C	0.376110	1.343154	0.280020	0.7866
R-squared 0.995457		Mean dependent var 52.15740		
Adjusted R-squared 0.994890		S.D. dependent var 23.18041		
S.E. of regression 1.657107		Akaike info criterion 4.024880		
Sum squared resid 21.96802		Schwarz criterion 4.085397		
Log likelihood -18.12440		Hannan-Quinn criter. 3.958493		
F-statistic 1753.100		Durbin-Watson stat 1.079740		
Prob(F-statistic) 0.000000				

$$\text{YPRED} = 0.993120252558 * \text{Y} + 0.376110031641$$



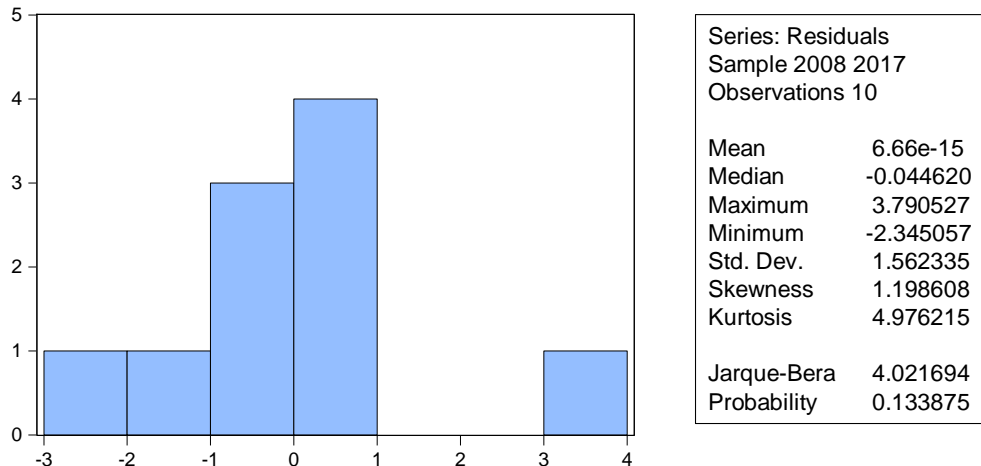
استخدام الشبكات العصبية الاصطناعية والخوارزميات الجينية الوراثية في تقديرها من نوع الافتراض ...
 ب/ محمد محمود هاشم

Date: 02/11/18 Time: 23:10

Sample: 2008 -2017

Included observations: 10

Autocorrelation	Partial Correlation	AC	PAC	Q-Stat	Prob
. .	. . 1	-0.056	-0.056	0.0415	0.839
. * .	. * . 2	-0.133	-0.137	0.3086	0.857
. * .	. * . 3	-0.153	-0.172	0.7078	0.871
. ** .	. * . 4	0.228	0.195	1.7462	0.782
. .	. . 5	0.015	-0.001	1.7514	0.882
. .	. . 6	-0.065	-0.039	1.8795	0.930
. * .	. . 7	-0.085	-0.026	2.1714	0.950
. * .	. * . 8	-0.114	-0.191	2.9508	0.937
. * .	. ** . 9	-0.136	-0.209	5.1741	0.819



استخدام الشبكات العصبية الاصطناعية والخوارزميات الجينية الوراثية في تقديرها من نوع الافتراض ...
 / محمد محمود هاشم

Breusch-Godfrey Serial Correlation LM Test:

F-statistic 0.383508	Prob. F(2,6) 0.6970
Obs*R-squared 1.133463	Prob. Chi-Square(2) 0.5674

Heteroskedasticity Test: Breusch-Pagan-Godfrey

F-statistic 0.013736	Prob. F(1,8) 0.9096
Obs*R-squared 0.017140	Prob. Chi-Square(1) 0.8958
Scaled explained SS 0.021809	Prob. Chi-Square(1) 0.8826

Ramsey RESET Test

Equation: EQ01

Specification: YPRED Y C

Omitted Variables: Squares of fitted values

	Value	df	Probability
t-statistic	0.071832	7	0.9447
F-statistic	0.005160	(1, 7)	0.9447
Likelihood ratio	0.007368	1	0.9316

ملاحق السوق ككل :

	Y	X1	X2	X3
Mean	30.86000	45.97000	11.29000	10.58000
Median	29.00000	48.85000	11.20000	10.55000
Std. Dev.	23.74706	26.54158	1.720756	1.804808
Skewness	0.121130	-0.483239	0.311160	0.528683
Kurtosis	1.987234	2.615165	2.598969	2.110318
Jarque-Bera	0.451827	0.450907	0.228379	0.795649
Probability	0.797787	0.798154	0.892089	0.671780
Observations	10	10	10	10

Group unit root test: Summary ist diff_none intercept
 Series: Y, X1, X2, X3
 Date: 02/11/18 Time: 21:49
 Sample: 2008- 2017
 Exogenous variables: None
 Automatic selection of maximum lags
 Automatic lag length selection based on SIC: 0 to 1
 Newey-West automatic bandwidth selection and Bartlett kernel

Method	Statistic	Prob.**	Cross-sections		Obs
			Null: Unit root (assumes common unit root process)	sections	
Levin, Lin & Chu t*	-6.04049	0.0000	4		31
<hr/>					
Null: Unit root (assumes individual unit root process)					
ADF - Fisher Chi-square	38.1284	0.0000	4		31
PP - Fisher Chi-square	44.1154	0.0000	4		32

** Probabilities for Fisher tests are computed using an asymptotic Chi-square distribution. All other tests assume asymptotic normality.

استخدام الشبكات العصبية الاصطناعية والخوارزميات الجينية الوراثية في تقديرها من نوع الافتراض ...
 / محمد محمود هاشم

Date: 02/11/18 Time: 21:57
 Series: Y X1 X2 X3
 Sample: 2008- 2017
 Included observations: 10

Null hypothesis: Series are not cointegrated
 Cointegrating equation deterministics: C
 Long-run variance estimate (Parzen kernel, Newey-West automatic bandwidth, NW
 automatic lag length)
 No d.f. adjustment for variances

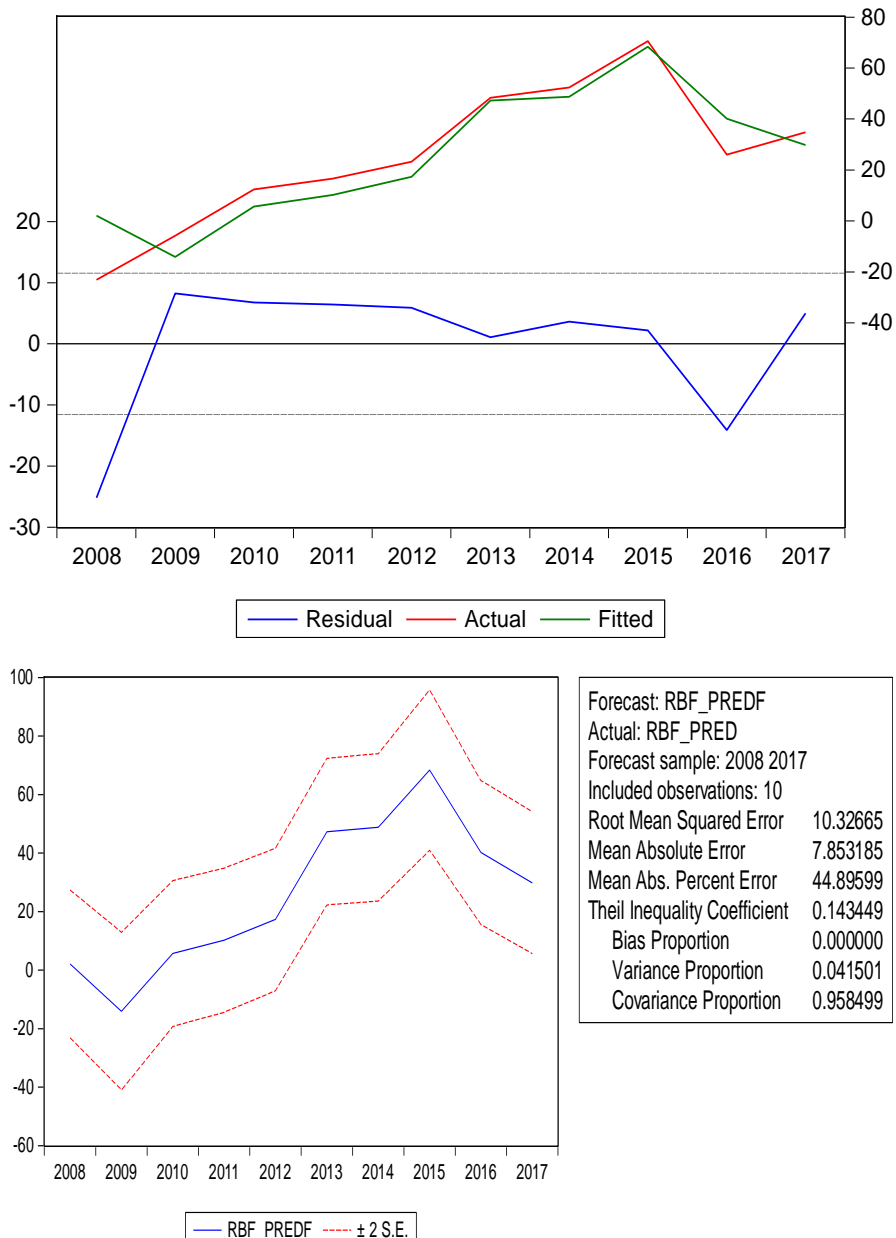
Dependent	tau-statistic	Prob.*	z-statistic	Prob.*
Y	-4.832586	0.0978	-7.435717	0.7571
X1	-6.305843	0.0230	-7.806129	0.7153
X2	-1.818234	0.9096	-5.786966	0.8983
X3	-4.051174	0.2089	-11.80265	0.0702

*MacKinnon (1996) p-values.

Dependent Variable: RBF_PRED_nnr				
Method: Least Squares				
Date: 02/11/18 Time: 21:58				
Sample: 2008- 2017				
Included observations: 10				
Variable	Coefficient	Std. Error	t-Statistic	Prob.
Y	1.078359	0.162063	6.653953	0.0002
C	-7.731707	6.192137	-1.248633	0.2471
R-squared	0.846963			Mean dependent var 25.54644
Adjusted R-squared	0.827834			S.D. dependent var 27.82535
S.E. of regression	11.54555			Akaike info criterion 7.907333
Sum squared resid	1066.397			Schwarz criterion 7.967850
Log likelihood	-37.53667			Hannan-Quinn criter. 7.840946
F-statistic	44.27509			Durbin-Watson stat 1.669374
Prob(F-statistic)	0.000160			

$$\text{RBF_PRED} = 1.07835867517 * \text{Y} - 7.73170650291$$

استخدام الشبكات العصبية الإصطناعية والخوارزميات الجينية الوراثية في تقييمهاش دفع الإكتتابه ...
 ب/ محمد محمود هاشم

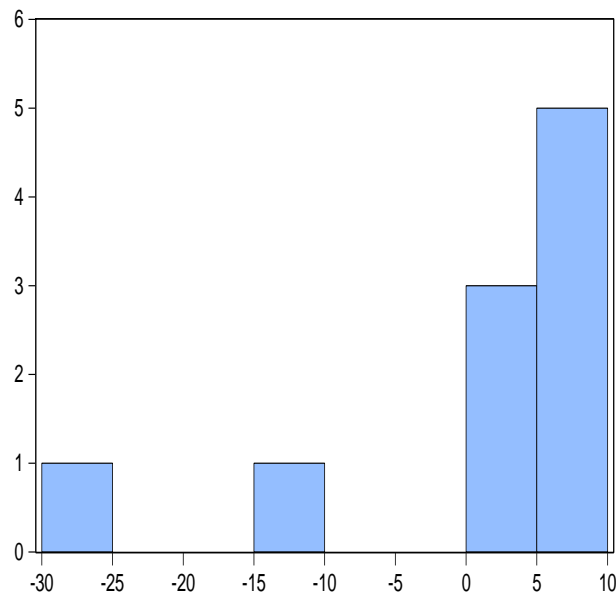


Date: 02/11/18 Time: 22:00

Sample: 2008 -2017

Included observations: 10

Autocorrelation	Partial Correlation			AC	PAC	Q-Stat	Prob
. .	.		. 1	0.002	0.002	4.E-05	0.995
. .	.		. 2	-0.004	-0.004	0.0002	1.000
. .	.		. 3	-0.041	-0.041	0.0291	0.999
. .	.		. 4	-0.057	-0.057	0.0945	0.999
. * .	.	*	. 5	-0.136	-0.137	0.5374	0.991
. * .	.	*	. 6	-0.135	-0.142	1.0839	0.982
. * .	.	*	. 7	-0.155	-0.174	2.0412	0.958
. * .	.	*	. 8	0.153	0.131	3.4412	0.904
. * .	.	*	. 9	-0.127	-0.168	5.3860	0.799



Series: Residuals	
Sample	2008 2017
Observations	10
Mean	1.48e-14
Median	4.315268
Maximum	8.232252
Minimum	-25.17611
Std. Dev.	10.88525
Skewness	-1.564620
Kurtosis	3.971144
Jarque-Bera	4.473025
Probability	0.106830

Breusch-Godfrey Serial Correlation LM Test:

F-statistic 0.137801	Prob. F(2,6) 0.8740
Obs*R-squared 0.439165	Prob. Chi-Square(2) 0.8029

Heteroskedasticity Test: Breusch-Pagan-Godfrey

F-statistic 1.153137	Prob. F(1,8) 0.3142
Obs*R-squared 1.259827	Prob. Chi-Square(1) 0.2617
Scaled explained SS 1.197801	Prob. Chi-Square(1) 0.2738

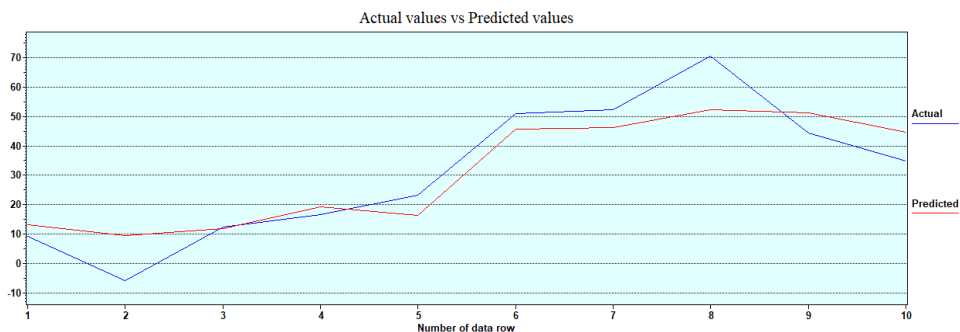
Ramsey RESET Test

Equation: EQ01

Specification: RBF_PRED Y C
 Omitted Variables: Squares of fitted values

	Value	df	Probability
t-statistic	0.322707	7	0.7563
F-statistic	0.104140	(1, 7)	0.7563
Likelihood ratio	0.147676	1	0.7008

Ga



0.905 X1

0.087 X2

0.008 X3

Predictions Actuals Row#

10.15828 9.1 1

-5.9 -5.9 2

12.22279 12.4 3

17.66241 16.6 4

21.17958 23.2 5

49.40728 51 6

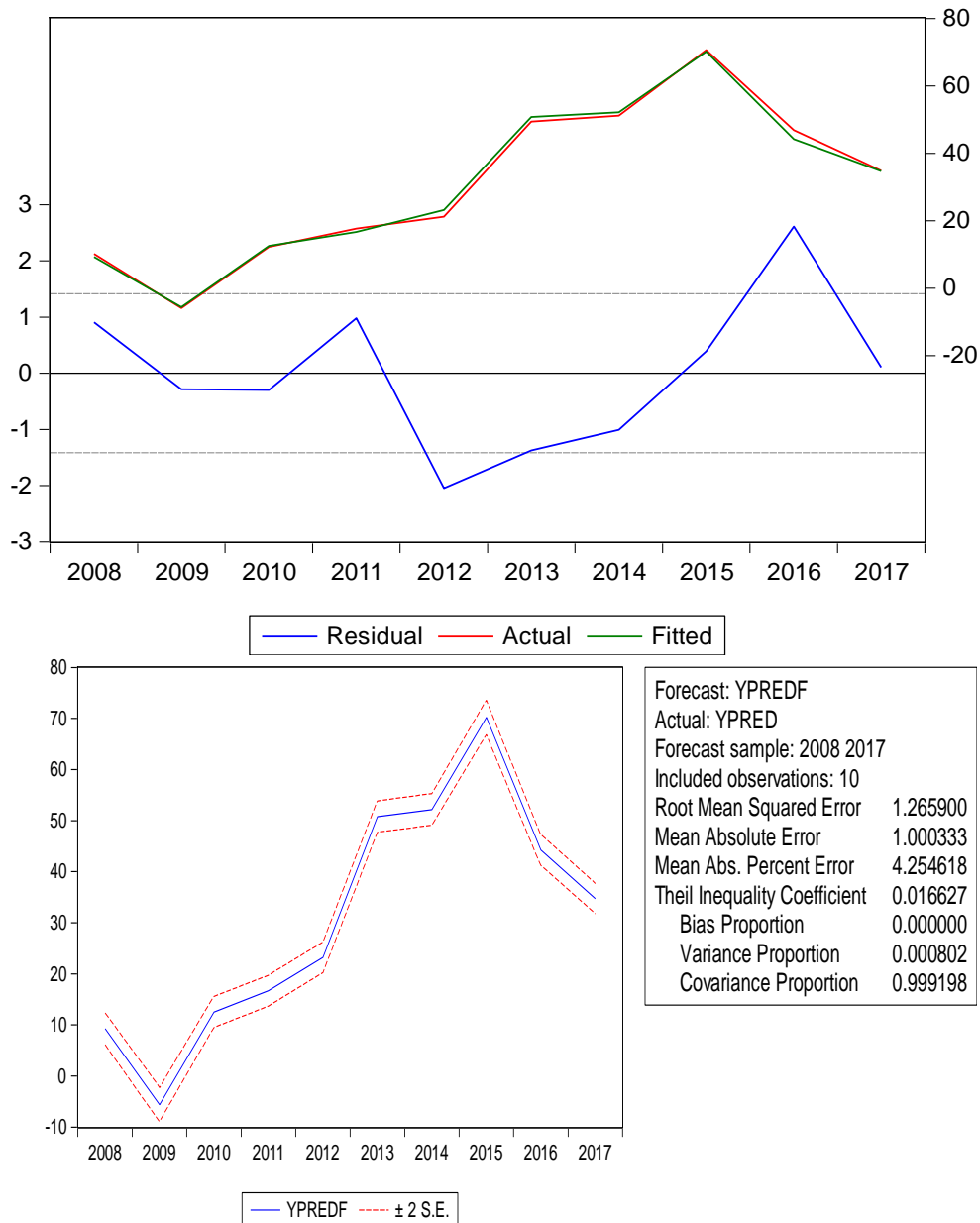
51.16253 52.4 7

70.6	70.6	8
46.85126	44.4	9
34.8288	34.8	10

Dependent Variable: YPRED
 Method: Least Squares
 Date: 02/12/18 Time: 00:25
 Sample: 2008- 2017
 Included observations: 10

Variable	Coefficient	Std. Error	t-Statistic	Prob.
Y	0.991161	0.019867	49.89086	0.0000
C	0.230057	0.759068	0.303078	0.7696
R-squared 0.996796		Mean dependent var 30.81729		
Adjusted R-squared 0.996396		S.D. dependent var 23.57496		
S.E. of regression 1.415319		Akaike info criterion 3.709444		
Sum squared resid 16.02503		Schwarz criterion 3.769961		
Log likelihood -16.54722		Hannan-Quinn criter. 3.643057		
F-statistic 2489.098		Durbin-Watson stat 1.619568		
Prob(F-statistic) 0.000000				

$$\text{YPRED} = 0.991161243189 * \text{Y} + 0.2300570352$$



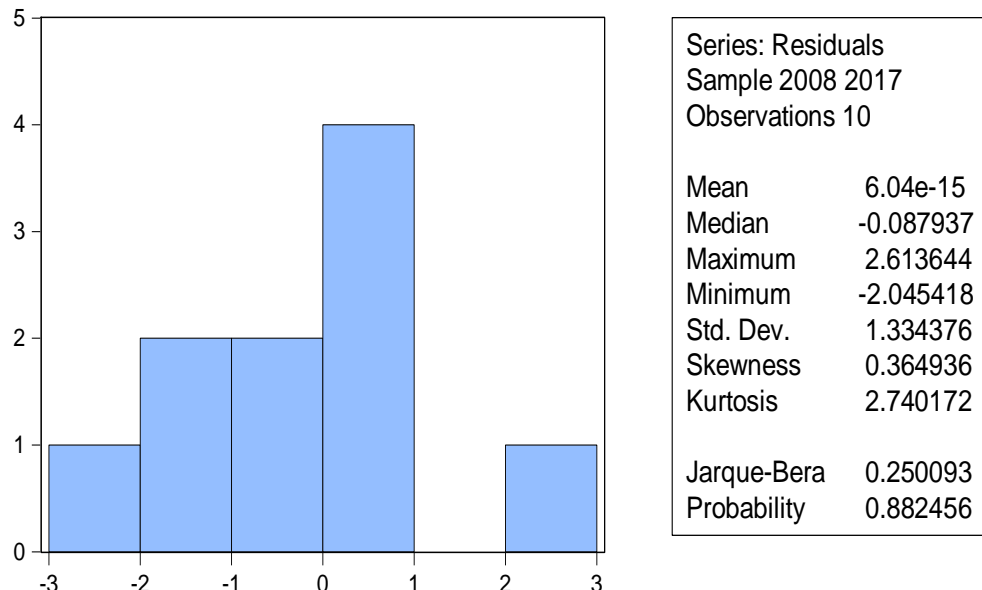
استخدام الشبكات العصبية الاصطناعية والخوارزميات الجينية الوراثية في تقديرها من نوع الافتراض ...
 بـ / محمد محمود هاشم

Date: 02/12/18 Time: 00:26

Sample: 2008 -2017

Included observations: 10

Autocorrelation	Partial Correlation	AC	PAC	Q-Stat	Prob
. ** .	. ** . 1	-0.261	-0.261	0.9093	0.340
. * .	. * . 2	-0.105	-0.185	1.0732	0.585
. * .	. ** . 3	-0.107	-0.209	1.2709	0.736
. ** .	. * . 4	0.279	0.186	2.8234	0.588
. * .	. . 5	-0.103	-0.006	3.0772	0.688
. * .	. * . 6	-0.095	-0.081	3.3455	0.764
. * .	. * . 7	-0.099	-0.134	3.7385	0.809
. .	. ** . 8	-0.037	-0.241	3.8191	0.873
. .	. * . 9	0.028	-0.106	3.9109	0.917



Breusch-Godfrey Serial Correlation LM Test:

F-statistic 0.280191	Prob. F(2,6) 0.7650
Obs*R-squared 0.854191	Prob. Chi-Square(2) 0.6524

Heteroskedasticity Test: Breusch-Pagan-Godfrey

F-statistic 0.296971	Prob. F(1,8) 0.6006
Obs*R-squared 0.357927	Prob. Chi-Square(1) 0.5497
Scaled explained SS 0.199314	Prob. Chi-Square(1) 0.6553

Ramsey RESET Test

Equation: UNTITLED

Specification: YPRED Y C

Omitted Variables: Squares of fitted values

	Value	df	Probability
t-statistic	0.044691	7	0.9656
F-statistic	0.001997	(1, 7)	0.9656
Likelihood ratio	0.002853	1	0.9574